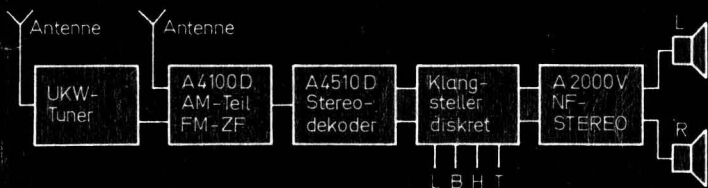
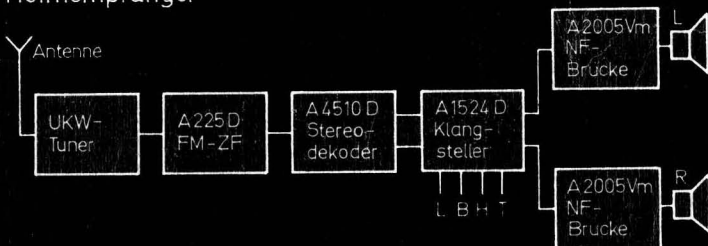


# amateurreihe electronica

## Reiseempfänger



## Heimempfänger



**Autorenkollektiv**

**Moderne integrierte  
Schaltkreise**

**für Rundfunkempfänger**

# 240



electronica · Band 240

AUTORENKOLLEKTIV

# **Moderne integrierte Schaltkreise für Rundfunkempfänger**



MILITÄRVERLAG  
DER DEUTSCHEN DEMOKRATISCHEN  
REPUBLIK

## **Autoren**

Dipl.-Ing. Horst Jüngling

AM-FM-Empfängerschaltkreis *A 4100 D*

Dipl.-Ing. Bernhard Gutsche

FM-ZF-Verstärker mit Demodulator *A 225 D*

Dipl.-Ing. Peter Karrasch

Stereodekoder-Schaltkreis *A 4510 D*

HS-Ing. Peter Edelmann

NF-Stereo-Einstellschaltkreis *A 1524 D*

Ing. Helmut Jahn

Doppel-NF-Leistungsverstärker *A 2000 V/A 2005 V*

Moderne integrierte Schaltkreise für Rundfunkempfänger/

Horst Jüngling u. a. –

Berlin: Militärverlag der DDR (VEB), 1988. –

95 S.: 53 Bilder + (electronica: 240)

ISBN 3-327-00558-3

1. Auflage, 1988

© Militärverlag der

Deutschen Demokratischen Republik (VEB) – Berlin, 1988

Lizenz-Nr. 5

Printed in the German Democratic Republic

Lichtsatz: Druckerei Phönix

Druck und buchbinderische Weiterverarbeitung:

Druckerei des Ministeriums für Nationale

Verteidigung (VEB) – Berlin – 30305-7

Lektor: Steffen Würtenberger

Zeichnungen: Angelika Ulsamer

Typografie: Martina Schwarz

Redaktionsschluß: 21. September 1987

LSV 3539

Bestellnummer: 7470608

00190

# Inhaltsverzeichnis

<b>1.</b>	<b>Vorwort</b>	<b>5</b>
<b>2.</b>	<b>Eigenschaften und Einsatz der integrierten Schaltkreise</b>	<b>7</b>
2.1.	AM-FM-Empfängerschaltkreis <i>A 4100 D</i>	7
2.1.1.	Allgemeine Eigenschaften	7
2.1.2.	Übersichtsschaltplan und Funktionsweise des <i>A 4100 D</i>	8
2.1.2.1.	AM-Betrieb	8
2.1.2.2.	FM-Betrieb	11
2.1.3.	Eigenschaften und Kennwerte des <i>A 4100 D</i>	13
2.1.3.1.	AM-Betrieb	13
2.1.3.2.	FM-Betrieb	16
2.1.4.	Einsatzhinweise, Nebenanwendungen	17
2.1.5.	Typische Einsatzschaltung	20
2.2.	<i>A 225 D</i> – ein integrierter FM-ZF-Verstärkerschaltkreis	24
2.2.1.	Funktionsbeschreibung	24
2.2.2.	Grenz- und Kennwerte des <i>A 225 D</i>	28
2.2.3.	Typische Abhängigkeiten	28
2.2.4.	Anwendungsschaltung des <i>A 225 D</i> im ZF-Verstärker	30
2.2.5.	Abgleichhinweise	33
2.2.6.	Anschaltung der AFC bei C-Diodenabgestimmten Tunern	36
2.2.7.	AFC-Beschaltung für Drehkondensatortuner	37
2.2.8.	LC-Filtervariante für einen ZF-Verstärker	37
2.3.	<i>A 4510 D</i> – ein integrierter PLL-Stereodekoder-Schaltkreis	38
2.3.1.	Allgemeine Eigenschaften	38
2.3.2.	Aufbau und Funktionsweise	39
2.3.3.	Kenndaten und Abhängigkeiten	41

2.3.3.1.	Abmessungen und Anschlußbelegung . . . . .	41
2.3.3.2.	Grenzwerte und Betriebsbedingungen . . . . .	42
2.3.3.3.	Kennwerte . . . . .	42
2.3.3.4.	Abhängigkeiten . . . . .	44
2.3.4.	Typische Einsatzschaltungen . . . . .	46
2.3.4.1.	Zeitmultiplexdekoder mit Basisbreitenregelung, Seitenbandfilter und Phasenkorrekturschaltung . .	47
2.3.4.2.	Frequenzmultiplexdekoder mit dem <i>A 4510 D</i> . . .	49
2.4.	NF-Einstellkombinationen . . . . .	52
2.4.1.	Grundsätzliches . . . . .	52
2.4.2.	Funktionsbeschreibung <i>A 273 D/A 274 D</i> . . . . .	54
2.4.3.	Schaltungsbeschreibung <i>A 273 D/A 274 D</i> . . . . .	57
2.4.4.	Schaltungsbeschreibung $3 \times A 274 D$ . . . . .	58
2.4.5.	Funktions- und Schaltungsbeschreibung <i>A 1524 D</i> .	60
2.4.6.	Kennwerte und Abhängigkeiten <i>A 1524 D</i> . . . . .	64
2.4.7.	Passiver Klangeinsteller . . . . .	67
2.4.8.	Aktiver Klangeinsteller mit diskreten Bauelemen- ten . . . . .	67
2.5.	Doppel-NF-Leistungsverstärker <i>A 2000 V</i> und <i>A 2005 V</i> . . . . .	70
2.5.1.	Allgemeine Eigenschaften . . . . .	70
2.5.2.	Funktionsbeschreibung . . . . .	70
2.5.2.1.	Signalweg . . . . .	71
2.5.2.2.	Schutzschaltungen . . . . .	73
2.5.2.3.	Referenz und Mittenspannungserzeugung . . . . .	74
2.5.3.	Schaltung des NF-Verstärkers . . . . .	74
2.5.3.1.	Stereo-NF-Verstärker . . . . .	74
2.5.3.2.	Mono-Brückenschaltung . . . . .	79
2.5.4.	Hinweise zur Kühlkörperdimensionierung . . . . .	82
2.5.5.	Stromversorgung des NF-Verstärkers . . . . .	84
2.5.6.	Zusammenbau und Inbetriebnahme . . . . .	86
2.5.7.	Lautsprecher und Boxen . . . . .	86
<b>3.</b>	<b>Empfängerschaltungen</b> . . . . .	<b>88</b>
3.1.	Stereokofferempfänger . . . . .	88
3.2.	Stereoheimempfänger . . . . .	90
<b>4.</b>	<b>Literatur</b> . . . . .	<b>94</b>

## **1. Vorwort**

Im Rahmen der Weiterentwicklung der Mikroelektronik wurden auch für den Einsatz in der Konsumgüterelektronik neue Bauelemente mit verbesserten Eigenschaften entwickelt.

Diese Schaltkreise weisen gegenüber bisherigen Bauelementen einen höheren Integrationsgrad auf, haben verbesserte Eigenschaften bei vergleichsweise reduzierter Außenbeschaltung und ermöglichen den Aufbau einer breiten Palette von Rundfunkempfangskonzepten.

Das Anliegen des vorliegenden Heftes ist es, einem breiten Anwenderkreis, vor allem aus dem Amateurbereich, diese neuen Bauelemente vorzustellen und ihre anwendungsspezifischen Besonderheiten zu erläutern, wobei besonderer Wert auf eine praxisnahe Darstellung der Schaltungen gelegt wird.

Die Autoren sind der Meinung, daß die Behandlung von IS als sogenannte «Black Box» und das «bloße» Anschalten der Betriebsspannungen für heutige Bauelemente nicht ausreicht, so daß für einen effektiven und richtigen Einsatz – auch durch den Amateur – ein Mindestmaß an Wissen zur Innenschaltung bzw. zu den Funktionsprinzipien der integrierten Schaltkreise nötig ist.

Es werden deshalb die Eigenschaften und Kennwerte der einzelnen Bauelemente entsprechend gründlich dargestellt, so daß die jeweilige Einsatzschaltung mit dem dazugehörigen Leiterplattenentwurf dem Praktiker keine technischen Probleme bringen dürfte.

Mit den in den Einzelbeschreibungen vermittelten Kenntnissen und Hinweisen ist dem versierten Amateur auch der Neuentwurf von Schaltungen und die Realisierung sogenannter Nebenanwendungen (z. B. HF-Teil A 4100 D) möglich.

Zum Schluß werden auf der Basis erprobter Einzelschaltungen 2 Empfängerkonzepte näher beschrieben:

1. Stereokofferempfänger mit der Möglichkeit einer feldstärke-

abhängigen Stereo-Mono-Überblendung, wobei die Klangregelung wegen zu hohem Eigenstrombedarf der entsprechenden IS mit Transistoren ausgeführt ist.

2. Heimempfänger mit leistungsfähiger IS-NF-Endstufe in Brückenschaltung. Ausführlich wird dabei auf das qualitätsbestimmende FM-Empfangsteil eingegangen, wobei für das AM-Teil die AM-Schaltungsvariante von Pkt. 1 bzw. ein anderes frei wählbares AM-Konzept zum Einsatz kommen kann.

Durch Anpassung der Signalpegel der einzelnen Baugruppen werden für die beiden Empfänger optimale Parameter, insbesondere bezüglich des Gesamtstörabstands, gesichert.

Auf einen Leiterplattenentwurf und auf detaillierte Angaben zur Stromversorgung für diese Empfänger wird bewußt verzichtet, da die Wahl des Gehäusekonzepts und individuelle Gesichtspunkte wesentlich die mechanische Ausführung bestimmen.

Der ausführliche Quellennachweis zu den einzelnen Bauelementen ermöglicht es dem Leser, spezielle Probleme und Einzelheiten nachzulesen, die über den Inhalt dieses Heftes hinausgehen.

Frankfurt (Oder), Februar 1987



## **2.       Eigenschaften und Einsatz der integrierten Schaltkreise**

### **2.1.       AM-FM-Empfängerschaltkreis A 4100 D**

#### **2.1.1.    Allgemeine Eigenschaften**

Im Schaltkreis A 4100 D ist eine komplette AM-Empfängerschaltung für den Frequenzbereich bis 30 MHz und ein davon vollständig getrennter FM-ZF-Verstärker mit Koinzidenzdemodulator, AFC-Gegentaktstromausgang und Feldstärkeindikator integriert. Diese IS wurde speziell für den Einsatzbereich Koffer- und Heimempfänger der unteren Preisklasse mit einem entsprechenden Betriebsspannungsbereich von 4,5...15 V (max. 16 V) konzipiert. Abweichend von den üblichen Gehäusevarianten, befindet sie sich in einem 22poligen DIL-Plastgehäuse mit dem Reihenabstand 10 mm. Der für den A 4100 D geltende Typstandard ist in der TGL 43 156 [6] fixiert.

Besondere Merkmale dieser IS sind:

- eigengeregelte HF-Vorstufe mit wählbarem Regeleinsatzpunkt,
- Ausgang für die Oszillatorfrequenz,
- kapazitätsdiodengekoppelter AM-ZF-Verstärker,
- interner AM-Demodulator mit aktivem Tiefpaß,
- gemeinsamer Feldstärkeausgang für AM- und FM-Betrieb,
- Betriebsartenumschaltung über die Versorgungsspannung.

Aufgrund der speziellen Innenschaltung sind Variationen für den Einsatz im Amateurbereich im AM-Teil im wesentlichen auf das HF-Teil beschränkt, während die FM-Schaltung in den bekannten FM-ZF-Einsatzvarianten verwendbar ist.

## **2.1.2. Übersichtsschaltplan und Funktionsweise des A 4100 D**

Der Übersichtsschaltplan des A 4100 D ist Bild 2.1 (umrahmter Teil) zu entnehmen. Die gewünschte Betriebsart wird bei dieser IS durch Anschalten der Betriebsspannung an die Anschlüsse 16 (FM) bzw. 17 (AM) aktiviert, wobei jeweils getrennte interne Stabilisierungsschaltungen die Stabilität der dynamischen Parameter und Arbeitspunkte im Betriebsspannungsbereich von 4,5...15V bewirken.

### **2.1.2.1. AM-Betrieb**

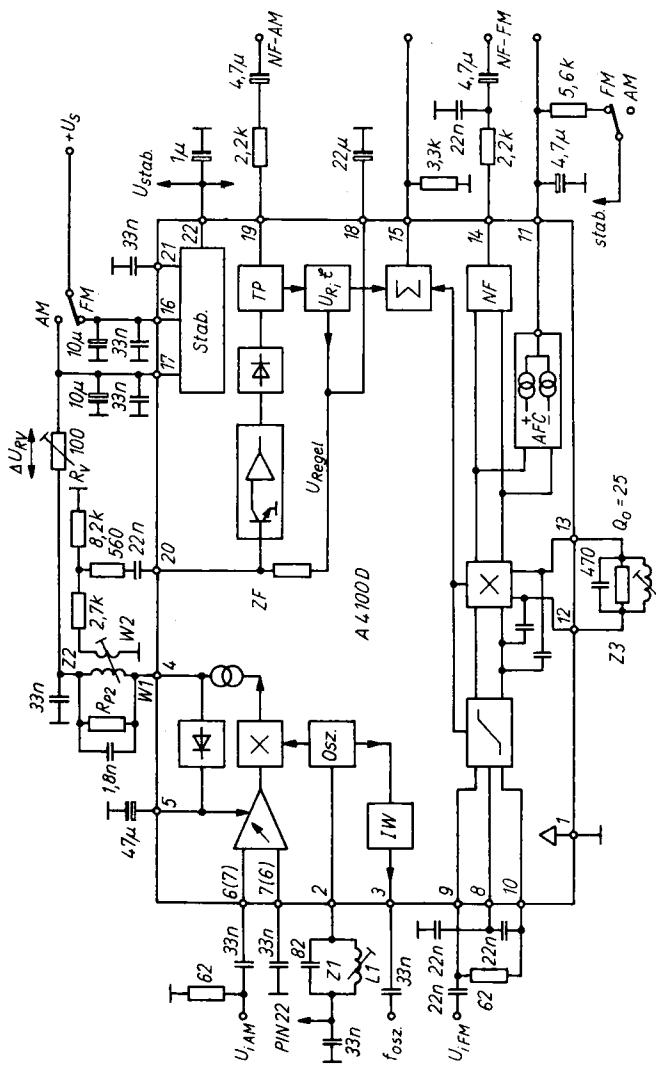
Die Betriebsart AM wird durch Anschalten der Betriebsspannung von 4,5...15V an Anschluß 17 ermöglicht.

#### *HF-Vorstufe/Mischstufe/HF-Regelung*

Zum Erreichen einer guten Empfindlichkeit und eines entsprechenden Regelumfangs ist in der IS A 4100 D ein rauscharmer Differenzverstärker mit Emitter- und Kollektorstromregelung (stromgesteuerte Dioden) [1, 2] integriert, wobei der Regelumfang etwa 45dB beträgt.

Die Mischstufe ist wie üblich ein 4-Quadrantenmultiplizierer mit galvanischer Kopplung zur HF-Vorstufe. Das in der Mischstufe erzeugte ZF-Signal steht dann hochohmig am Anschluß 4 (Stromquelle, Kollektoren) zur Verfügung.

Die oben genannte Regelung wird vom Ausgang der Mischstufe gesteuert, da sich dann für den Empfänger eine sogenannte verzögerte Regelung mit Verbesserung der Gesamtrauscheigenschaften ergibt. Eine Besonderheit ist die Verwendung der AM-Betriebsspannung (17) als Referenzwert für die Regelung. Damit besteht die Möglichkeit, mit dem Gleichspannungsabfall (0...100mV) über den Einstellwiderstand  $R_V$  (Bild 2.1) den Regeleinsatzpunkt für die HF-Vorstufe zu wählen (Bild 2.3). Der Mischerausgang erfordert unbedingt die Beschaltung mit einer Spule (galvanischer Kurzschluß); eine Widerstandskopplung wie bei [1] ist nicht möglich.



© Bild 2.1 Übersichtsschaltplan und Meßschaltung nach TGL 43156

Die gleichgerichtete Ausgangsspannung des Mischers wird nach der beschriebenen Bewertung mit einem Kondensator, der mindestens  $47\mu\text{F}$  haben soll, am Anschluß (5) (HF-Regelspannung) gesiebt.

Die typischen Gleichspannungspegel des HF-Teil sind:

HF-Eingangstransistoren (6,7)	1,25 V
Mischereingangsgleichspannung (4)	$U_{17} - \Delta U_{RV}$ (Bild 2.1)
HF-Regelspannung (5)	0 ... 1,2 V

### *Oszillator*

Die Oszillatorschaltung besteht aus einem intern rückgekoppelten Differenzverstärker mit Gleichrichtung und nachfolgender Regelung der Oszillatoramplitude.

Damit kann der äußere Oszillatorschwingkreis direkt angeschaltet werden, und es entfallen die bei älteren Konzepten [1] nötigen Spulenanzapfungen.

Die an (2) zu messende Oszillatoramplitude wird auf  $U_{\text{eff}} \approx 200\text{ mV}$  ausgeregelt. Zum Anschluß von Frequenzmeßschaltungen usw. kann die Oszillatorfrequenz am Anschluß (3) (Emitterfolger mit  $I_E \approx 100\mu\text{A}$ ) rückwirkungsarm ausgekoppelt werden. Im praktischen Einsatz sind dabei größere kapazitive Lasten zu vermeiden, und der Fußpunkt der Oszillatorspule ist an den Anschluß (22) zu schalten.

Die typischen Gleichspannungspegel des Oszillatorteils sind:

Oszillatoranschluß (2)	2,8 V ( $\triangleq$ 22)
Oszillatorauskopplung (3)	1,3 V

### *ZF-Verstärker mit Demodulator, Regelung*

Das ZF-Signal wird nach der Selektion mit entsprechenden Filtern in einem C-Diodengekoppelten, geregelten ZF-Verstärker verstärkt und in einem Eingangsspannungsbereich von etwa 50 dB ausgeregelt (Tabelle 2.1.). Der Eingangswiderstand ist dabei so gewählt, daß übliche Filter richtig abgeschlossen werden. Die ZF-Regelung erfolgt abweichend von gewohnten Konzepten [1] nur in der Eingangsstufe durch Stromabwärtsregelung des 1. npn-Transistors (Basisspannung ist am Anschluß 20 meßbar).

Durch die Kondensatorkopplung des 3stufigen ZF-Verstärkers wird dabei die nutzbare Bandbreite intern begrenzt und liegt bei 300 ... 800 kHz, so daß die ZF nur für die ZF-Verstärkung geeignet ist.

Ein integrierter Hüllkurvendemodulator demoduliert klirrarm das verstärkte ZF-Nutzsignal, wobei der Gleichstrommittelwert des Signals, mit einem Kondensator am Anschluß (18) (Regelzeitkonstante) gesiebt, den ZF-Regelverstärker zur Regelung der 1. ZF-Stufe steuert.

Das demodulierte NF-Signal wird mit einer 3stufigen aktiven Tiefpaßschaltung (Grenzfrequenz  $\approx 6,5$  kHz) gefiltert und am Anschluß (19) durch einen Emitterfolger (Innenwiderstand  $\approx 270 \Omega$ ) niederohmig ausgekoppelt.

Die typischen Gleichspannungen des ZF-Teils sind:

ZF-Eingang (20)	0,65 V
ZF-Regelspannung (18)	0,7 ... 1,6 V (Bild 2.3)
NF-Ausgang-AM (19)	1,31 V

### *Feldstärkeanzeige*

Im Verstärker für die Feldstärkeanzeige werden die Regelspannungen des HF-Teils und des ZF-Teils addiert und niederohmig am Anschluß (15) (Maximalstrom – 1,5 mA) ausgekoppelt (Bild 2.4).

## **2.1.2.2. FM-Betrieb**

FM-ZF-Betrieb erfolgt durch Anschalten der Betriebsspannung an den Anschluß (16).

### *ZF-Verstärker*

Der ZF-Verstärker entspricht üblichen FM-Konzepten [7]; er ist als 6stufiger, symmetrischer, begrenzender Verstärker mit speziellen rauscharmen Eingangstristoren konzipiert. Zur Anpassung an den nachgeschalteten Demodulator werden Emitterfolger eingesetzt. Die Auskopplung für die Funktion «Feldstärkeanzeige» erfolgt in der 3. und 5. ZF-Stufe.

### *Demodulator*

Wie üblich wird ein als Koinzidenzdemodulator arbeitender 4-Quadrantenmultiplizierer verwendet, wobei die Ansteuerung des FM-Phasenschieberkreises an den Anschlüssen (12) und (13) über interne Koppelkapazitäten (C-Dioden) erfolgt. Die unvermeidlichen Bahnwiderstände dieser Dioden führen dabei zu einem geringen Versatz von  $\Delta U_{\text{AFC}} = 0\text{V}$  und des Klirrfaktorminimums bei Einsatz des üblichen Phasenschieberkreises. Niedrigere Klirrfaktorwerte und größere Unempfindlichkeiten bei ungenauer Abstimmung werden mit einem Bandfilterphasenschieber nach Bild 2.6 erreicht.

### *Ausgangsverstärker, Feldstärkeanzeige, AFC*

Das im FM-Demodulator gewonnene Signal gelangt nach HF-Siebung mit C-Dioden an die NF-Ausgangsstufe (Emitterfolger) am Anschluß (14).

Der Gleichstrommittelwert des Demodulators ist ein Maß für die Ablage der ZF-Frequenz von der Resonanzfrequenz des Phasenschieberkreises. Er wird über Stromspiegelschaltungen in ein Gegentaktstromsignal umgewandelt und steht am Anschluß (11) zur Ansteuerung von Nachstimm-schaltungen (AFC) zur Verfügung ( $I_{\text{max}} \approx \pm 150\mu\text{A}$ ). Die Ruhespannung kann dabei zwischen  $+1,5\text{V}$  und  $-1,5\text{V}$  unter der Spannung am Anschluß (16) liegen. Für den praktischen Einsatz bietet sich die am Anschluß (22) vorhandene stabilisierte Spannung von etwa  $2,8\text{V}$  an. (Die maximale Belastung von (22) darf dabei  $1\text{mA}$  nicht überschreiten.)

Zu den Steuerspannungen aus dem ZF-Verstärker wird im Demodulator eine weitere Spannung gewonnen, und zusammen mit diesen ergibt sich die Ausgangsspannung für den gemeinsamen Feldstärkeausgang (15).

Die typischen Gleichspannungspegel im FM-Teil sind:

ZF-Eingänge (8, 9, 10)	1,58 V
Demodulatoreingang (12, 13)	2,73 V
NF-Ausgang (14)	1,92 V
Feldstärkeausgang (15)	0...3 V

### 2.1.3. Eigenschaften und Kennwerte des A 4100

Zur Dokumentation und zum Nachweis des Qualitätsniveaus von IS für den HF-Einsatz ist es üblich, eine dem typischen Einsatzfall nahekommende Meßschaltung zu verwenden. Für den A 4100 D ist dies die im Bild 2.1 enthaltene Beschaltung. Für reproduzierbare Meßwerte sind die Filter wie folgt abzugleichen:

- Z1 – Oszillatorkreis:  $f_o = 1455 \text{ kHz}$ ,  $Q_o = 50$ , ( $L1 \approx 146 \mu\text{H}$ )  
Z2 – Mischerauskopplung:  $f_{ZF} = 455 \text{ kHz}$ , mit  $R_{p2}$  wird ein Leerlaufresonanzwiderstand von  $11 \text{ k}\Omega$  eingestellt ( $\triangle Q_o \approx 60$ ),  $W_2$  wird so abgeglichen, daß vom Anschluß (4) nach (20) eine Spannungsübersetzung von  $-18 \text{ dB}$  bei Belastung von (20) mit  $3 \text{ k}\Omega$  gemessen wird: ( $L2 \approx 68 \mu\text{H}$ ;  $W2 : W1 \approx 1 : 3,3$ )  
Z3 – FM-Demodulatorkreis:  $f_o = 10,7 \text{ MHz}$ ,  $Q_o = 25$ , ( $L \approx 0,47 \mu\text{H}$ )

Dem Amateur ermöglicht diese einfache Beschaltung die Prüfung von speziell typisierten Bauelementen, wie sie von der Industrie für Bastlerzwecke angeboten werden, an Hand der in den Tabellen enthaltenen typischen Werte.

#### 2.1.3.1. AM-Betrieb

Die in den Tabellen 2.1. und 2.2. enthaltenen Parameter sowie die in den Bildern 2.2 bis 2.4 gezeigten Abhängigkeiten wurden bei  $f_e = 1 \text{ MHz}$ ,  $f_{NF} = 1 \text{ kHz}$ ;  $m = 0,3/0,8$  und  $U_s = 10 \text{ V}$  ermittelt. Tabelle 2.1. enthält allgemeine, für den variablen Einsatz typische Parameter des A 4100 D, mit denen die Berechnungen von Einsatzschaltungen ermöglicht werden. Der starke Frequenzgang der HF-Steilheit ( $-9 \text{ dB}$  bei  $30 \text{ MHz}$ ) ist durch HF-Siebmaßnahmen in der Vorstufe begründet und stört im praktischen Einsatz nicht.

Die Empfindlichkeitswerte (Tabelle 2.2.) des A 4100 D sind im Vergleich zu bisherigen Konzepten [1] stark verbessert, so daß die Anpassung von Ferritantennen problemlos möglich ist. Die maximale Eingangsspannung von  $U_e \approx 130 \text{ mV}$  bei  $m = 0,8$  ist für den vorgesehenen Haupteinsatzfall ausreichend. Die in den Bil-

**Tabelle 2.1. Allgemeine dynamische Parameter  
des HF- und ZF-Teils bei AM**

<b>HF-Teil</b>		
Eingangswiderstand		2 k $\Omega$
Mischsteilheit		18 mS
Oszillatorspannung an (2)		$U_{\text{eff}} = 200 \text{ mV}$
Oszillatorausgangsspannung an (3)		$U_{\text{eff}} = 250 \text{ mV}$
HF-Bandbreite		30 MHz ( $-9 \text{ dB}$ )
Regelumfang		$\approx 45 \text{ dB}$
<b>ZF-Teil</b>		
Eingangswiderstand		2,5 k $\Omega$
Regeleinsatzpunkt		50 $\mu\text{V}$
Regelumfang		49 dB
maximale Eingangsspannung		32 mV
Demodulationsbandbreite		7,0 kHz
NF-Innenwiderstand		0,27 k $\Omega$

**Tabelle 2.2. Kennwerte des A 4100 D im AM-Bereich**

Parameter		Wert
Stromaufnahme	( $U_i = 0$ )	14 ( $< 20$ ) mA
NF-Ausgangsspannung	( $U_i = 20 \mu\text{V}; m = 0,3$ )	55 ( $> 30$ ) mV
NF-Ausgangsspannung	( $U_i = 10 \text{ mV}; m = 0,3$ )	71 ( $< 130$ ) mV
NF-Klirrfaktor	( $U_i = 10 \text{ mV}; m = 0,3$ )	1,4 %
NF-Klirrfaktor	( $U_i = 10 \text{ mV}; m = 0,8$ )	2,5 ( $< 4,5$ ) %
NF-Klirrfaktor	( $U_i = 100 \text{ mV}; m = 0,8$ )	2,5 ( $< 10$ ) %
Störabstand	( $U_i = 10 \mu\text{V}; m = 0,3$ )	20 dB
Störabstand	( $U_i = 20 \mu\text{V}; m = 0,3$ )	25,5 ( $> 20$ ) dB
Regeleinsatzpunkt	( $\Delta\text{HF}/\Delta\text{NF} = 10 \text{ dB}/3 \text{ dB}$ )	8 $\mu\text{V}$
Regelumfang	( $\Delta\text{NF} = +6 \text{ dB}$ )	86 dB
max. Eingangsspannung	( $k_{\text{NF}} = 10 \text{ %}; m = 0,8$ )	135 mV
Anzeigespannung	( $R_{\text{L15}} = 3,3 \text{ k}\Omega; U_i = 10 \text{ mV}$ )	2,4 V
Demodulationsbandbreite		6,5 kHz

(Werte in Klammern sind Grenzwerte nach TGL 43156)



dern 2.2 bis 2.4 enthaltenen Abhängigkeiten zeigen typische Eigenschaften des *A 4100 D*, wobei besonders die HF-Regelspannung  $U_5$  (Bild 2.3) ein Maß für die Einstellung des Regeleinsetzungspunktes mit  $R_V$  im Bild 2.1 ist. Üblich sind Werte für den HF-Regeleinsatz bei Eingangsspannungen von  $100 \dots 300 \mu\text{V}$ .

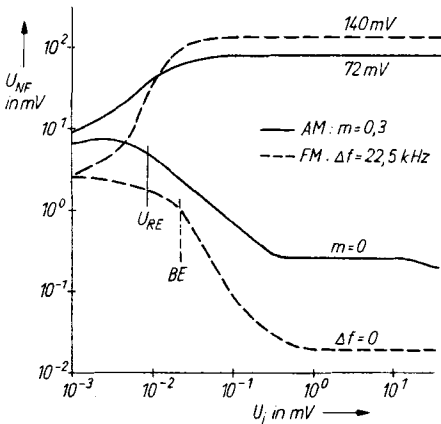


Bild 2.2  
NF-Ausgangs-  
spannung im AM-  
und FM-Betrieb

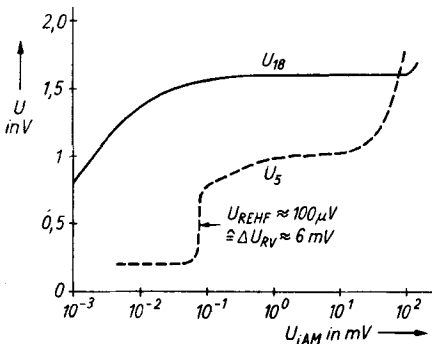


Bild 2.3  
Regelspannung der  
ZF ( $U_{18}$ ) und des  
HF-Teils ( $U_5$ ) im AM-  
Betrieb für einen  
HF-Regeleinsetz-  
punkt von  $100 \mu\text{V}$

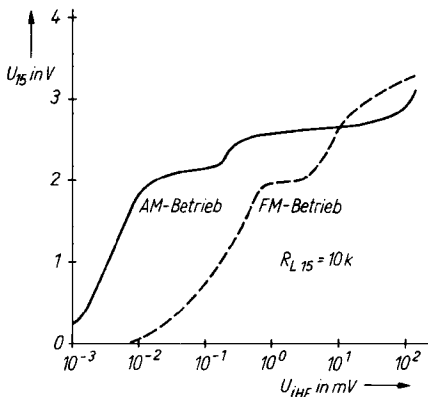


Bild 2.4  
Feldstärke-  
indikators-  
spannung  
im AM- und  
FM-Betrieb

### 2.1.3.2. FM-Betrieb

Die in der Tabelle 2.3. und in den Bildern 2.2, 2.4 bis 2.6 enthaltenen Abhängigkeiten wurden bei  $f = 10,7 \text{ MHz}$ ;  $f_{\text{NF}} = 1 \text{ kHz}$ ;  $\Delta f = 22,5/75 \text{ kHz}$  und  $U_S = 10 \text{ V}$  ermittelt.

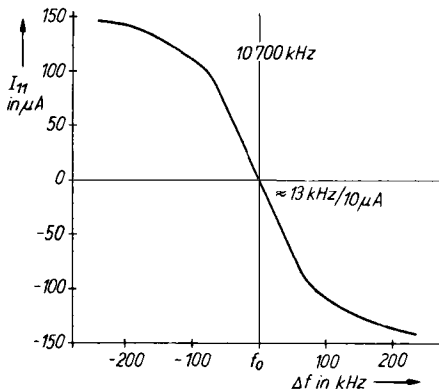


Bild 2.5  
AFC-Ausgangs-  
strom als Funktion  
der Verstimmung  
 $\Delta f$  im FM-Betrieb

**Tabelle 2.3. Kennwerte des A 4100 D im FM-Bereich**

Parameter		Wert
Stromaufnahme	$(U_i = 0)$	9,5 (< 14) mA
NF-Ausgangsspannung	$(U_i = 10 \text{ mV}; \Delta f = 75 \text{ kHz})$	470 (> 300) mV
NF-Klirrfaktor	$(U_i = 10 \text{ mV}; \Delta f = 75 \text{ kHz})$	0,8 (< 2) %
minimaler Klirrfaktor	$(U_i = 10 \text{ mV}; \Delta f = 75 \text{ kHz})$	0,7 %
Begrenzungseinsatz	$(\Delta \text{NF} = -3 \text{ dB})$	26 (< 50) $\mu\text{V}$
AM-Unterdrückung	$(m = 0,3; \Delta f = 75 \text{ kHz})$	63 (> 55) dB
Störabstand	$(U_i = 10 \text{ mV}; \Delta f = 22,5 \text{ kHz})$	77 dB
Anzeigespannung	$(U_i = 10 \text{ mV})$	2,3 V
maximaler AFC-Strom	$(\Delta f = \pm 400 \text{ kHz})$	145 $\mu\text{A}$
NF-Innenwiderstand		$\approx 180 \Omega$

(Werte in Klammern sind Grenzwerte nach TGL 43156)

Die dargestellten Parameter verdeutlichen, daß mit dem A 4100 D gute dynamische Werte und besonders in der Nähe der Begrenzerschwelle gute Störabstandswerte des Gesamtempfängers erreicht werden. Der relativ hohe Klirrfaktor bei Einsatz eines Phasenschiebereinzelkreises, bedingt durch den nicht korrigierten Multiplizierer, kann mit der im Bild 2.6 dargestellten Anordnung wesentlich herabgesetzt werden. Der Abgleich erfolgt dabei so, daß mit dem Kreis Z1 auf  $\Delta U_{\text{AFC}} = 0 \text{ V}$  und mit Z2 auf Klirrfaktorminimum wechselseitig abgeglichen wird.

### 2.1.4. Einsatzhinweise, Nebenanwendungen

Für den Einsatz des A 4100 D sind die üblichen HF-technischen Maßnahmen, wie große Masseflächen, richtige Abblockung usw. zu beachten. Speziell im FM-Betrieb sollte der Signalfluß «quer» zur IS erfolgen. Ein typisches Platinenlayout enthält Bild 2.9.

Spezielle Hinweise:

- Die AM-Eingänge (6) und (7) sind gleichberechtigt, ein symmetrischer Betrieb ist möglich.

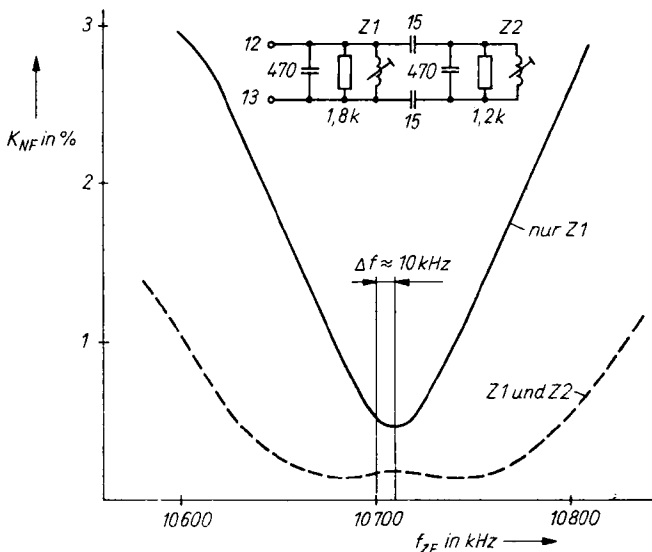


Bild 2.6 Klirrfaktor im FM-Betrieb bei Abgleich auf  $I_{AFC} = 0$   
bei  $f_{ZF} = 10700$  kHz

- Die Lastimpedanz an (4) sollte bei etwa  $12\text{ k}\Omega$  liegen.
- Die HF-Verstärkung von (6) nach (20) sollte etwa 20...25 dB betragen.
- Die Stromversorgung für (4) muß über einen Widerstand  $R_V$  von (17) erfolgen. Der Spannungsabfall sollte zwischen 5...25 mV liegen.
- Eine Widerstandskopplung am Mischerausgang ist nicht möglich.
- Um Störschwingungen zu vermeiden, sollte in Reihe mit dem Oszillatorkreis und (2) ein Dämpfungswiderstand ( $\approx 47\Omega$ ) bzw. eine Ferritperle geschaltet werden.
- Der Generatorwiderstand für den ZF-Verstärker sollte  $1\text{ k}\Omega$  nicht unterschreiten.

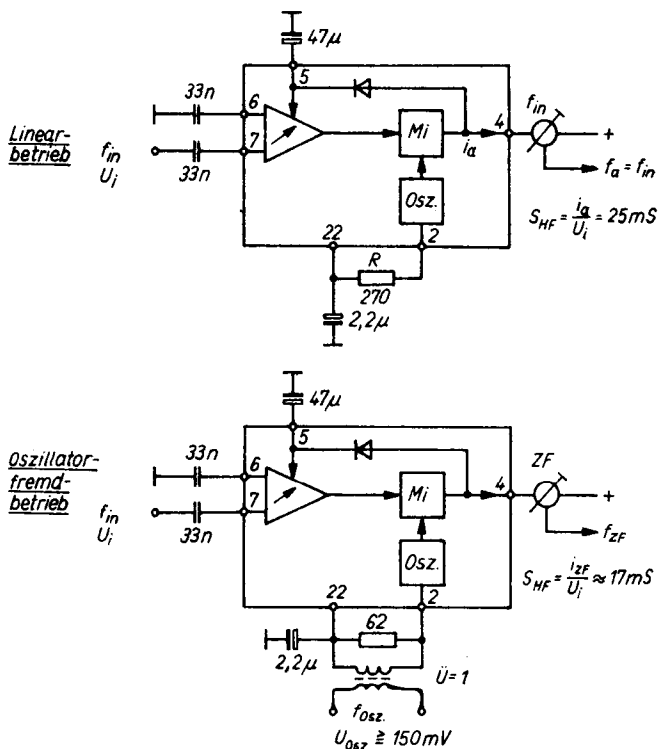


Bild 2.7 Linear- und Oszillatorfremdbetrieb bei AM für den A 4100 D

- Eine Verringerung der ZF-Verstärkung ist durch Anschalten eines Widerstandes (20 ... 100kΩ) an (20) möglich.
- Im FM-Betrieb kann die AFC-Steilheit mit dem Arbeitswiderstand an (11) eingestellt werden.

Weitere für den Einsatz mögliche Maßnahmen sind in [2] und [3] zu finden. Ein Linearbetrieb bzw. der Einsatz eines Fremdoszillators für das HF-Teil ist für spezielle Einsatzfälle in der im Bild 2.7 gezeigten Weise möglich.

### 2.1.5. Typische Einsatzschaltung

Bild 2.8 zeigt eine universell einsetzbare Anwenderschaltung für Koffer- und Heimempfänger.

Das AM-modulierte Eingangssignal an X 111 wird verstärkt und mit der Oszillatorfrequenz (Oszillatortspule an X 109) in die ZF-Lage gemischt. Das Filter Z1 paßt das Piezokompaktfilter *SPF 455 H5* (Z2) an den Mischerausgang an.

Eine Reduzierung der ZF-Verstärkung ist in der bereits angegebenen Weise möglich; gleichzeitig verringert sich dabei aber der ZF-Regelumfang. Mit  $R_V$  wird der Regeleinsatzpunkt (siehe 2.1.2.1.) an das Gesamttempfängerkonzept individuell angepaßt. Die NF-Ausgangsspannung (X 104) sollte vor allem im Kurzwellenbereich zur Reduzierung der häufigen 5-kHz-Interferenzstörungen mit einem Sperrfilter (V2) gesiebt werden. Der Abgleich erfolgt dabei auf Minimum mit  $R_S$  und  $C^*$  bei  $f_{\text{mod}} = 5 \text{ kHz}$ . Die Stufenverstärkung wurde so gewählt, daß bei Einsatz dieser Stufe die NF-Pegel bei AM und FM etwa gleich sind. Im FM-Betrieb wird das Eingangssignal (X 116) mit V1 verstärkt, mit einem vorzugsweise 8kreisigen Piezofilter (Z3) gesiebt und dem ZF-Verstärker zugeführt. Nach Demodulation durch den Phasenschieberkreis Z4 steht die NF an X 106 zur Weiterverarbeitung bereit. Die AFC-Anschlüsse sind:

X 110 (Referenzspannung),

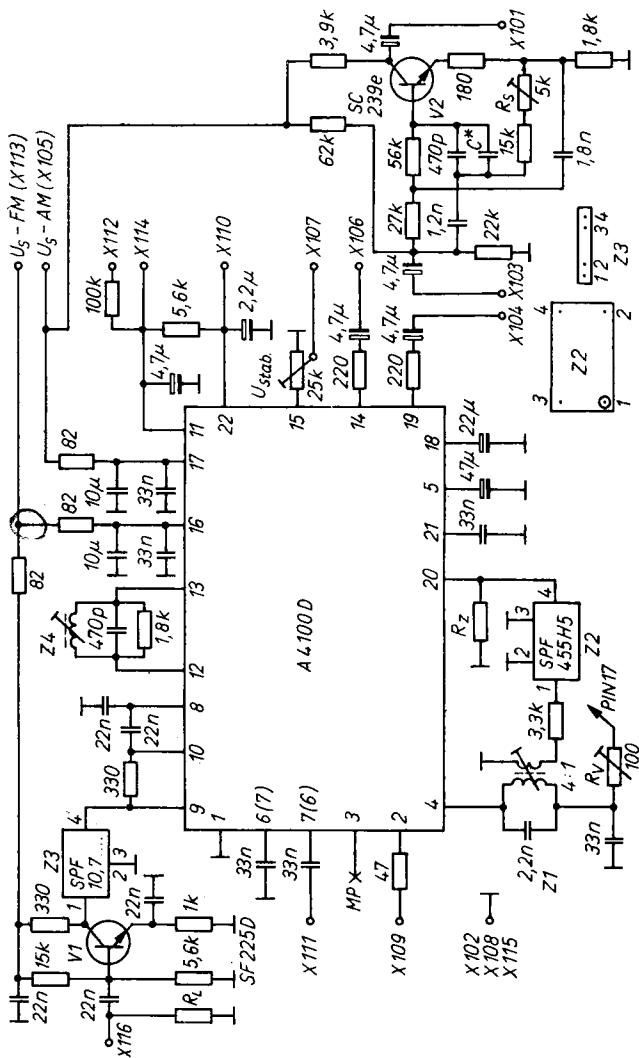
X 114 (AFC-Ausgang),

X 111 (AFC-Steuerspannung für den UKW-Tuner).

Für die feldstärkeabhängige Steuerung des Stereodecoders kann eine einstellbare Spannung an X 107 entnommen werden. Für die AM- und FM-Filter werden die neuen Filter vom VEB *Hochfrequenz* Meuselwitz eingesetzt.

Z1 ist in der angegebenen Schaltung die für den *A 4100 D* optimale Variante. Möglich ist ein Ersatz dieses Filters durch den *SP 3902* ( $C = 1,5 \text{ nF}$ ,  $\ddot{U} = 5 : 1$ ). Z4 kann mit den Spulen *SP 3823* und *SP 3908* realisiert werden.

Ein erprobtes Leiterplattenlayout und den entsprechenden Bestückungsplan für die Einsatzschaltung zeigen die Bilder 2.9 und 2.10.



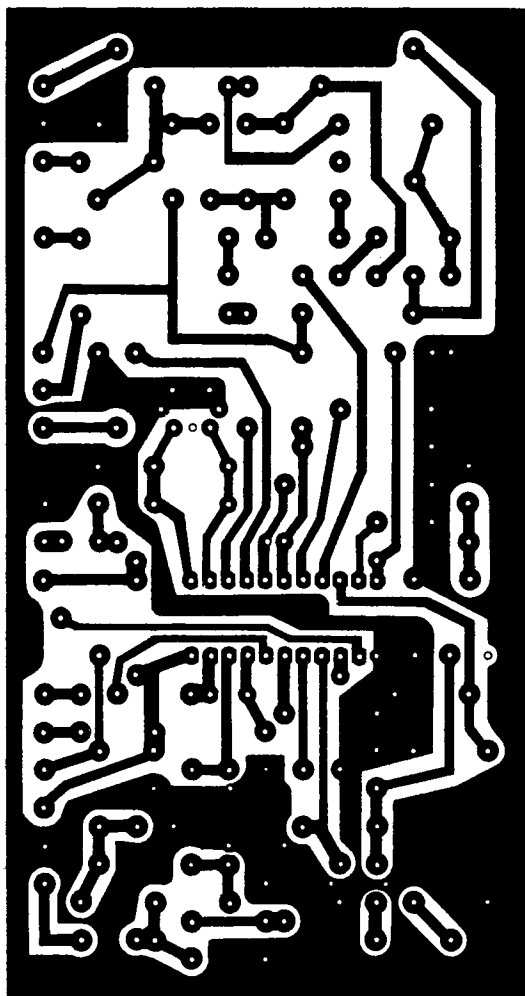
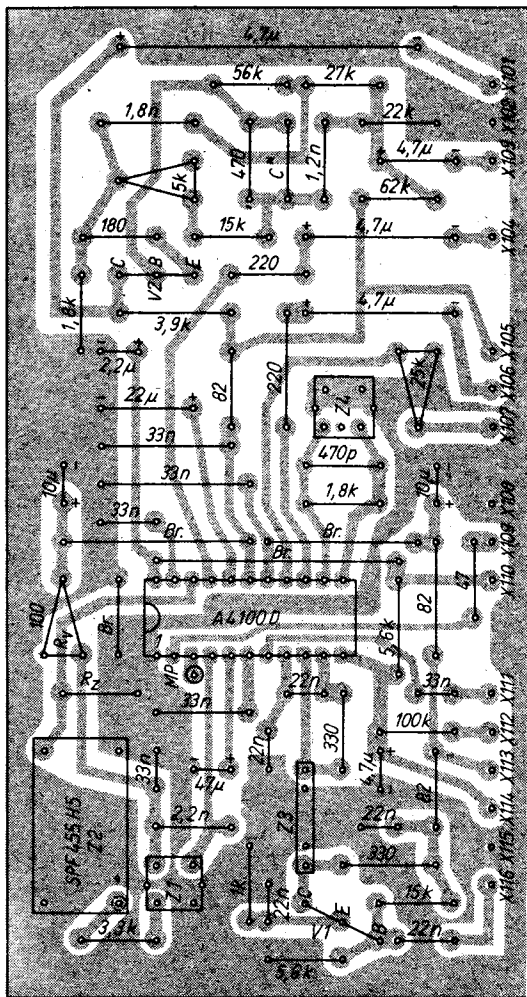


Bild 2.9 Leiterplatte A1





**Bild 2.10 Bestückungsplan für A1 (Br. = Drahtbrücke)**

## **2.2. A 225 D – ein integrierter FM-ZF-Verstärkerschaltkreis**

### **2.2.1. Funktionsbeschreibung**

Der integrierte FM-ZF-Verstärker A 225 D ist ein speziell für den Einsatz in FM-Rundfunkempfängern entwickeltes Bauelement. Durch seine Vielfalt an Zusatzfunktionen über das notwendige Maß – ZF-Verstärkung und Demodulation – hinaus, erlaubt er die Realisierung verschiedener Funktionen, die einen hohen Gebrauchswert der Empfänger ergeben. An Hand des Übersichtsschaltplans (Bild 2.11) soll eine kurze Funktionsbeschreibung vorgenommen werden.

Bedeutung der Schaltkreisanschlüsse:

- 1 Schaltkreismasse
- 2 Sensoreingang für die AFC-Abschaltautomatik
- 3 AFC-Abschaltzeitkonstante
- 4 Tiefpaßkondensator für verstimmabhängige Stummschaltung
- 5 AFC-Ausgang (Gegentaktstromausgang)
- 6 Tiefpaßkondensator zur Unterdrückung des Abschaltknackens bei Stummschaltung des NF-Ausgangs
- 7 NF-Ausgang
- 8, 11 Ausgänge des Begrenzerverstärkers
- 9, 10 Phasenschieberkreisanschluß
- 12 Betriebsspannungsanschluß
- 13 Steuereingang zur Stummschaltung des NF-Ausgangs
- 14 Instrumentenanschluß und Stereo-Schaltspannung
- 15 Spannung zur Einstellung der Rauschsperr- und Stereoschaltspannung (negativ gehend)
- 16, 17 Arbeitspunkt-Rückführung des ZF-Verstärkers
- 18 ZF-Eingang

Das ZF-Eingangssignal wird am Anschluß (18) einem 8stufigen Begrenzerverstärker (Block 1) zugeführt. Er bewirkt die Verstärkung des Signals und durch seine guten Begrenzungseigenschaften eine ausgezeichnete Unterdrückung von Amplitudenstörungen, d. h. eine hohe AM-Unterdrückung. Da die Arbeitspunkt-

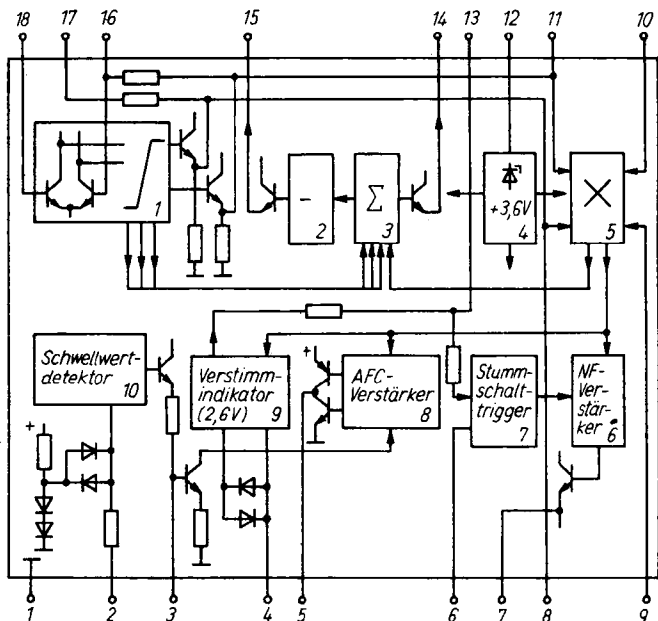


Bild 2.11 Übersichtsschaltplan des A 225 D

einstellung des Verstärkers durch Rückführung vom Ausgang auf den Eingang geschieht, muß diese Gegenkopplung für das Nutzsignal aufgehoben werden, wofür die Kapazitäten von 22nF an den Anschlüssen (16) und (17) vorgesehen sind. Zwischen (17) und (18) ist die Rückführung durch eine galvanische Verbindung zu schließen. Dies kann durch den Abschlußwiderstand der Signalquelle oder die Auskoppelwicklung eines vorgeschalteten Filters vorgenommen werden. Der ohmsche Widerstand muß dabei  $< 1\text{ k}\Omega$  sein.

Aus 3 Stufen des Begrenzerverstärkers und dem Demodulator wird in der Summationsstufe (Block 3) eine vom Eingangssignal abhängige Spannung an (14) erzeugt. Sie weist einen nahezu

logarithmischen Verlauf gegenüber der Eingangsspannung auf. Die Inverterstufe (Block 2) invertiert diese Spannung. Damit steht am Anschluß (15) eine mit steigendem Eingangssignal fallende Spannung zur Verfügung, die dem Stummschalttrigger (Block 7) über den Anschluß (13) zugeführt wird. Die Schwelle, bei der das Eingangssignal den NF-Ausgang aktiviert, kann am Anschluß (15) (Bild 2.12) eingestellt werden. Diesem Stummschalttrigger wird ferner ein Signal, das im Verstimmindikator (Block 9) aus der Ablage des ZF-Signals vom Sollwert gewonnen wird, zugeführt, so daß eine Demodulation auf den Filterflanken durch die Stummschaltung unhörbar ist. Diese Funktion ist auch als «Unterdrückung von Nebenempfangsstellen» bekannt. Am Anschluß (4) integriert ein leckstromarmer Elektrolytkondensator das Modulationssignal, damit nur die ZF-Ablage den Stummschaltvorgang einleiten kann. Die Signale für den NF-

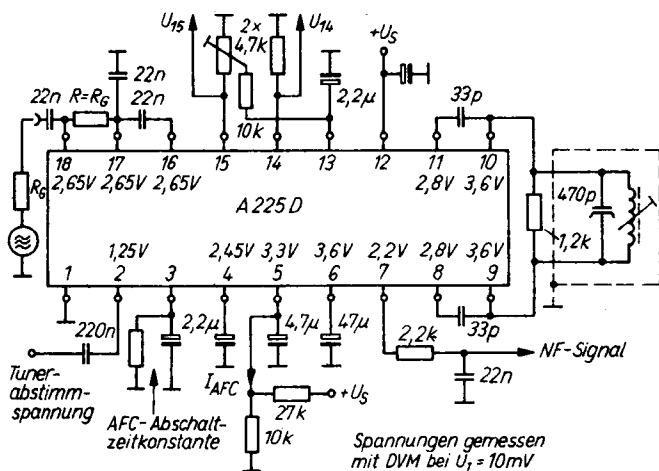


Bild 2.12 Meß- und Anwendungsschaltung des A 225 D

Verstärker (Block 6), für den Verstimmindikator und für den AFC- Verstärker kommen aus dem Demodulator (Block 5). Im Demodulator wird durch Multiplikation des vom Begrenzerverstärker kommenden Signals mit einem um  $90^\circ$  phasenverschobenen Signal am Demodulatorkreis, das der Frequenzmodulation folgende NF-Signal erzeugt. Der Phasenverlauf des Demodulatorkreises bestimmt also die NF-Eigenschaften Klirrfaktor und Amplitude. Als optimal für diesen Kreis ist eine Güte von  $Q_0 = 25$ , die mit dem Widerstand von  $1,2\text{k}\Omega$  parallel zum Schwingkreis eingestellt wird. Wie im Bild 2.12 gezeigt, wird für Monoempfang am NF-Ausgang (7) eine Deemphasis  $2,2\text{k}\Omega$ ,  $22\text{nF}$  angeschlossen. Bei Stereoempfängern wird hier nur ein HF-Siebglied vorgesehen (siehe Beispiel im Abschnitt 2.2.4.). Der AFC-Verstärker (Block 8) erhält ebenfalls das Demodulatorsignal und liefert am Anschluß (5) des Schaltkreises einen der Verstimmung folgenden Ausgangsstrom aus einer Gegentaktstromquelle. Damit am AFC-Anschluß die Modulation unterdrückt wird, ist eine entsprechende Abblockung vorzusehen. Der A 225 D enthält zusätzlich eine AFC-Abschaltautomatik. Sie schaltet beim Abstimmvorgang die AFC aus. Dazu wird die sich bei der Senderwahl ändernde Abstimmspannung dem Schwellwertdetektor (Block 10) über eine leckstromarme Koppelkapazität am Anschluß (2) zugeführt, der den AFC-Verstärker stromlos schaltet. Nach dem Ende des Abstimmvorgangs schaltet der AFC-Verstärker nach einer Verzögerung wieder ein. Diese Verzögerung wird durch eine am Anschluß (3) angeschaltete RC-Kombination festgelegt, z. B.  $10\mu\text{F} \parallel 100\text{k}\Omega \cong 1\text{ s}$ . Somit ist eine optimale Abstimmung ohne AFC möglich. Die AFC-Schaltung sichert nach dem Abstimmen, daß die eingestellte Empfängerabstimmung beibehalten wird.

Im Bild 2.12 ist am Anschluß (5) ein Spannungsteiler angeordnet, in den der AFC-Strom eingespeist wird. Die Spannung am Knotenpunkt enthält die Information über die Abstimmung.

Die im nachfolgenden Abschnitt wiedergegebenen Kennwerte wurden mit einer Schaltung entsprechend Bild 2.12 ermittelt.

### 2.2.2. Grenz- und Kennwerte des A 225 D

Die Parameter des integrierten Schaltkreises A 225 D sind im Typstandard TGL 35 798 festgelegt. Die Meßbedingungen werden dort ebenfalls festgelegt. Gemessen werden die Kennwerte nach der Abstimmung des Phasenschieberkreises auf einen AFC-Strom  $I_5 = 0$ . In Tabelle 2.4. sind die Grenzwerte wiedergegeben. Sie dürfen im Betrieb nicht unter- bzw. überschritten werden.

Die typischen Kennwerte (Tabelle 2.5.) sind Ergebnisse aus applikativen Untersuchungen, während die minimalen und maximalen Werte garantierte Grenzwerte darstellen.

Der Ausmeßtyp A 225 D 1 ist für weniger anspruchsvolle Anwendungen vorgesehen und unterscheidet sich vom Grundtyp durch die Festlegung des Klirrfaktorgrenzwerts  $k \leq 1,5\%$  und der garantierten AM-Unterdrückung  $a_{AM} \geq 48\text{dB}$  bei gleichen Meßbedingungen.

### 2.2.3. Typische Abhängigkeiten

In der Meßschaltung ermittelte Abhängigkeiten ausgewählter Parameter sind im Bild 2.13 für den AFC-Strom über der Frequenz und für die Gleichspannung am NF-Ausgang Anschluß (7) dargestellt. Dazu ist die Stummschaltung durch einen Kurzschluß zwischen Anschluß (13) und Masse außer Betrieb gesetzt. Aus diesen Abhängigkeiten können Dimensionierungen für den Aufbau der AFC-Funktion im Empfänger und einer Nullpunktan-

Tabelle 2.4. Grenzwerte des A 225 D

Kenngröße	Kurzzeichen	min.	max.	Einheit
Betriebsspannung	$U_s$	4 <sup>1)</sup>	18	V
Strom aus dem Anschluß (14)	$-I_{14}$		3	mA
Strom aus dem Anschluß (15)	$-I_{15}$		1	mA
Betriebstemperaturbereich	$\vartheta_a$	- 25	+ 70	°C

1) bei Unterschreiten ist die Funktion nicht gewährleistet

**Tabelle 2.5. Kennwerte des A 225 D**

Kennwerte ( $\vartheta_a = 25^\circ\text{C} - 5\text{ K}$ ;  $U_s = 12\text{ V}$ ,  $f = 10,7\text{ MHz}$ ,  $\Delta f = \pm 75\text{ kHz}$ ,  $I_{\text{AFC}} = 0$ ,  $f_m = 1\text{ kHz}$ ,  $Q_o = 25$  wenn nicht anders angegeben)

Kennwert	Kurzzeichen	min.	typ.	max.	Einheit
Gesamtstromaufnahme (ohne Signal)	$I_{s0}$		11,5	15	mA
NF-Ausgangsspannung $U_1 = 10\text{ mV}$	$U_{\text{NF}}$	270	316		mV
AM-Unterdrückung $m = 0,3$	$a_{\text{AM}}$	60	64		dB
Klirrfaktor	$k$		0,4	0,8	%
Eingangsspannung für Begrenzungseinsatz	$U_{\text{IT}}$		33	50	$\mu\text{V}$
Spannung zur Feld- stärkeanzeige					
$U_1 = 100\text{ mV}$ $\Delta f = 0$	$U_{14}$	1,6	2,5		V
$U_1 = 16\mu\text{V}$	$U_{14}$		0	0,2	V
Spannung zur Einstellung der Rauschsperr					
$U_1 = 16\mu\text{V}$ $\Delta f = 0$	$U_{15}$	2,2	2,85		V
$U_1 = 10\text{ mV}$	$U_{15}$		0	1	V
Schaltspannung für «AFC – aus»	$U_2$		9	20	mV
Einsatz der verstimm- abhängigen Stummschaltung	$\Delta f$		$\pm 90$		kHz
NF-Ausgangs impedanz	$R_{q7}$		260		$\Omega$
NF-Unterdrückung bei Stummschaltung	$a_{\text{NF}}$		63		dB
AFC-Steilheit	$I_s/\Delta f$		0,8		$\mu\text{A/kHz}$

zeige am Anschluß (7) abgeleitet werden (siehe [7] und [8]). Die Ableitung der Nullpunktanzeige vom Gleichspannungswert am NF-Ausgang zur optimalen Sendereinstellung ist sinnvoll, da der AFC-Ausgang beim Abstimmvorgang wie beschrieben abgeschaltet wird.

Die Parameterabhängigkeit anderer Kenndaten von der Betriebsspannung ist in [7] dargestellt und im Bereich von

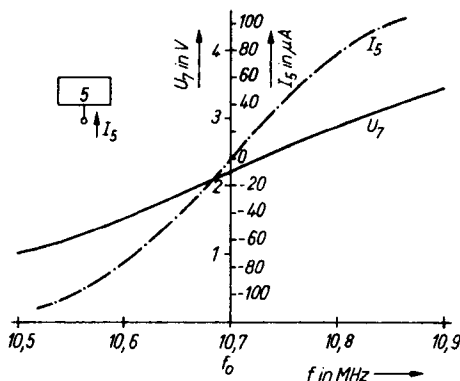


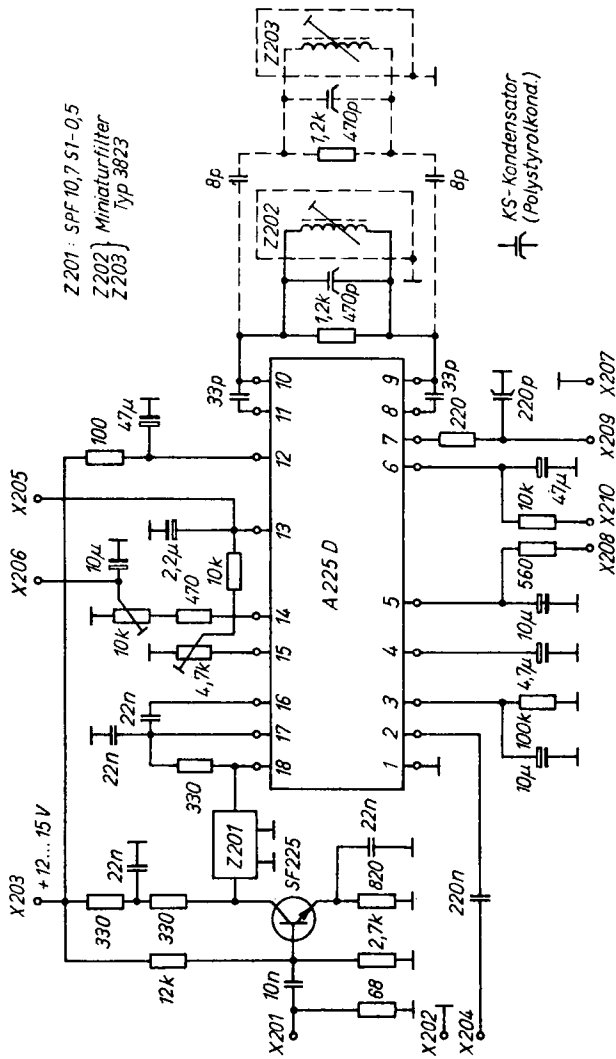
Bild 2.13 AFC-Strom und Ausgangsgleichspannung des NF-Ausgangs über der Frequenzablage um die Zwischenfrequenz

5...18V so gering, daß sie an dieser Stelle nicht vorgestellt zu werden braucht. Die Verläufe von  $U_{14}$ ,  $U_{15}$ ,  $U_{NF}$ ,  $a_{AM}$ ,  $k$  und des Signal/Rauschabstands gehen aus den Ergebnissen im Abschnitt 2.2.4. hervor. Für die Meßschaltung sind die Werte identisch, nur die zugehörige Eingangsspannung muß um die Verstärkung der vorgeschalteten ZF-Stufe von  $\approx 12$  dB korrigiert werden.

#### 2.2.4. Anwendungsschaltung des A 225 D im ZF-Verstärker

Im Bild 2.14 ist der A 225 D in einem Einsatzbeispiel dargestellt. Dem integrierten ZF-Baustein ist im Beispiel eine Verstärkerstufe mit dem Transistor SF 225 vorgeschaltet. Sie gleicht die Dämpfung des 8kreisigen Piezofilters aus und erreicht eine zusätzliche Verstärkung von 10...12dB. Einzelheiten zur Außenbeschaltung gehen aus dem Abschnitt 2.2.1. hervor. Als Besonderheit ist im Bild die gestrichelte Darstellung eines 2. Phasenschieberkreises zu erkennen. Mit ihm kann der Phasengang des Demodulators und damit sein Klirrfaktor weiter reduziert werden. Dabei wird mit Z 202 bei der Einsatzfrequenz, die durch





31 Bild 2.14 10,7-MHz-Rundfunk-ZF-Modul (Baugruppe A2.1)

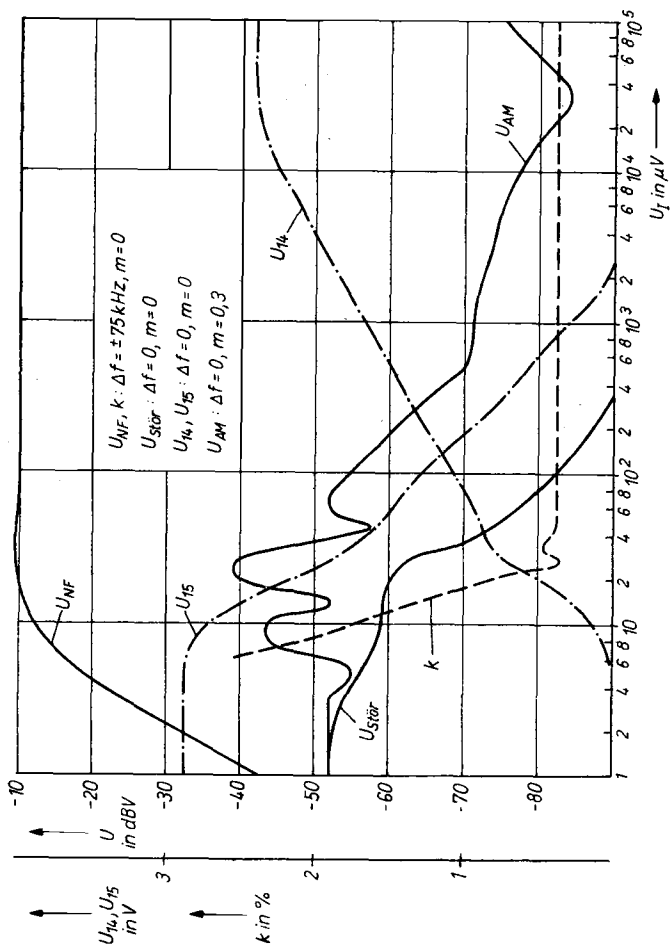


Bild 2.15 Meßwerte an der Baugruppe A2.1

die Resonanzfrequenz des Piezofilters bestimmt ist, auf  $I_{\text{AFC}} = I_5 = 0$  abgeglichen und mit Z 203 auf Klirrfaktorminimum. Eine wechselseitige Wiederholung kann dabei erforderlich sein. Diese Beschaltung wird jedoch nur empfohlen, wenn eine entsprechende Qualitätsmeßtechnik vorhanden ist. Dem Amateur ist davon abzuraten. Die mit diesem Modul erzielten Meßwerte sind im Bild 2.15 wiedergegeben. Der NF-Ausgang wurde während der Messung mit einer Deemphasis von  $\tau = 50\mu\text{s}$  beschaltet.

Mit einem UKW-Tuner von  $\approx 26\text{ dB}$  Verstärkung können Empfängerempfindlichkeiten von  $< 1\mu\text{V}$  erreicht werden. Mit einem Einstellregler von  $47\text{ k}\Omega$  vom Anschluß X 210 zur Versorgungsspannung kann die Stärke der Signalabsenkung bei Stummschaltung eingestellt werden.

An X 201 und X 202 wird der Ausgang des Tuners angeschlossen. Die Bedeutung der anderen Anschlüsse geht aus der Funktionsbeschreibung (Abschnitt 2.2.1.) hervor.

Bild 2.16 zeigt das Leiterbild und Bild 2.17 die dazugehörige Bestückung für das ZF-Modul (Baugruppe A 2.1).

### **2.2.5. Abgleichhinweise**

Zum Abgleich wird der Demodulator (Anschlüsse 9 und 10) kurzgeschlossen. An den Eingang des Moduls wird ein Meßgenerator geschaltet. Bei einer Eingangsspannung von  $\approx 20\text{ mV}$  wird die Frequenz variiert, bis  $U_{14}$  ein Maximum ergibt. Die Eingangsspannung verkleinern bis  $U_{14} \approx 0,3\text{ V}$  ist und die genaue Filterfrequenz ablesen ( $\triangleq f$  für  $U_{14} = \text{Maximum}$ ). Danach bei dieser Frequenz Phasenschieberkreis nach Entfernen des Kurzschlusses auf  $I_5 = 0$  abgleichen. Dazu muß ein Strommesser zwischen X 208 und eine Referenzspannung von  $\approx 3\text{ V}$  (z. B. Spannungsteiler, siehe Bild 2.12) geschaltet werden.

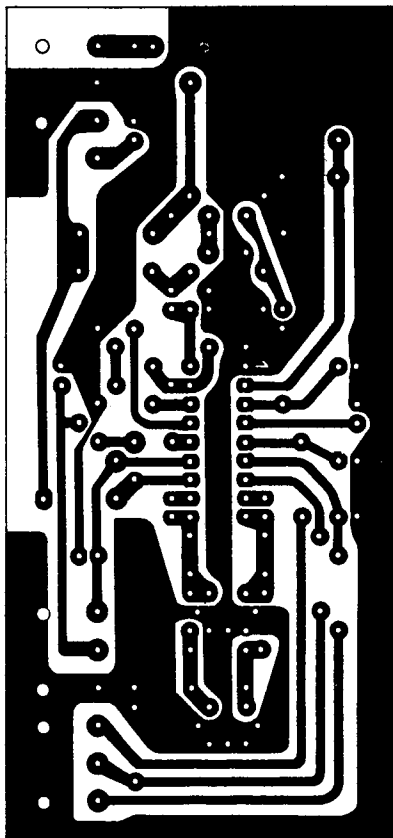
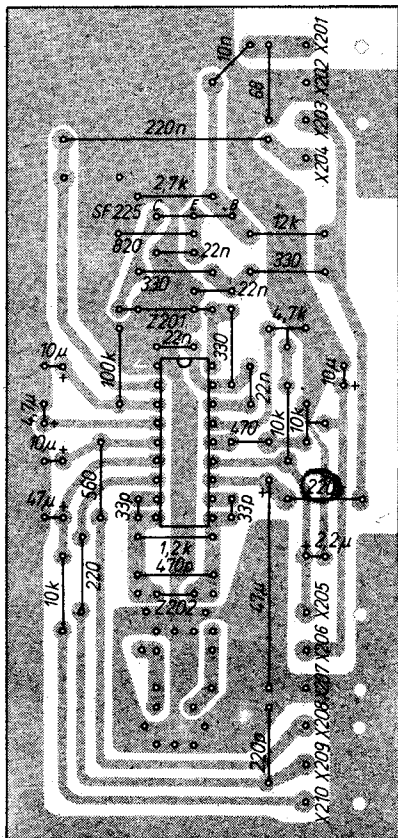


Bild 2.16 Leiterplatte A2.1



**Bild 2.17 Bestückungsplan der Leiterplatte A2.1**

## 2.2.6. Anschaltung der AFC bei C-Diodenabgestimmten Tunern

Da der Einsatz des *A 225 D* besonders in hochwertigen Empfängerkonzepten vorgenommen wird, soll ein Schaltbeispiel dazu dargestellt werden. Einfache AFC-Schaltungen können entsprechend Abschnitt 2.1. aufgebaut werden. Im Bild 2.18 wird das AFC-Signal auf die Abstimmoberspannung überlagert. Am Widerstand *R* erzeugt der AFC-Strom des *A 225 D* einen Spannungsabfall, der mit einem Faktor 4,5 (dem Spannungsverhältnis von Abstimmoberspannung zu Z-Diodenspannung) der Ausgangsspannung aufgeprägt wird. Aus der Kurve der Abstimmspannung eines üblichen C-Diodentuners läßt sich damit ein AFC-Regelfaktor von etwa 10 für das vorgestellte Schaltungskonzept ablesen. Somit wird eine FehlAbstimmung von 50 kHz auf etwa 5 kHz reduziert, wenn die AFC zuschaltet. Mit der Variation des Widerstands *R* kann dieser Faktor verändert werden. Der eingesetzte Wert von  $6,8\text{ k}\Omega$  zeigte sich im Beispiel als optimaler Wert.

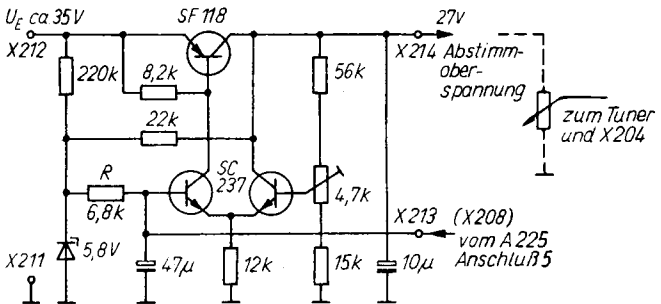


Bild 2.18 Einspeisung der AFC in die Abstimmoberspannung (Baugruppe A2.2)

### 2.2.7. AFC-Beschaltung für Drehkondensatortuner

Die Schaltung im Bild 2.19 zeigt eine Möglichkeit, den A 225 D an einen Drehkondensatortuner anzuschalten. Dabei ist zu berücksichtigen, daß im Tuner beide C-Diodenanschlüsse herausgeführt sind. Ferner muß auf die Polung der C-Diode geachtet werden. Der Kondensator C ist in seinem Wert im Tuner nicht zu ändern, da sonst sein Abgleich verändert wird.

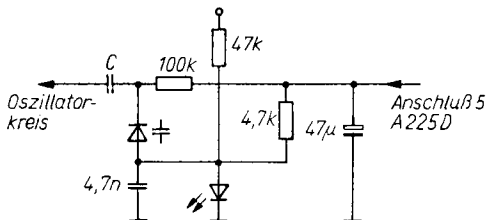


Bild 2.19 AFC-Schaltung für Drehkondensatorabstimmung

### 2.2.8. LC-Filtervariante für einen ZF-Verstärker

Ein Beispiel für einen Filterblock zwischen Tunerausgang und Eingang des A 225 D ist im Bild 2.20 dargestellt. Er kann anstelle des Piezofilters im Bild 2.14 angeordnet werden. Dieser Block ist ebenfalls stereotüchtig und weist sehr gute Selektionseigenschaften auf. Der Abgleich ist sehr einfach, da alle Kreise auf Maximum abgestimmt werden. Dazu wird ein 10,7-MHz-ZF-Signal am Eingang eingespeist und  $U_{14}$  des A 225 D, bei kurzgeschlossenem Phasenschieberkreis, auf Maximum abgeglichen. Dabei hält man durch ständige Verringerung  $U_{14}$  um 0,3 V. Der Abgleich ist in der Reihenfolge vom letzten zum 1. Schwingkreis zu wiederholen, bis  $U_{14}$  nicht mehr ansteigt.

Für den Aufbau dieses Filters sollten entsprechende Erfahrungen im Aufbau von Hochfrequenzschaltungen und deren Leiterplattengestaltung vorliegen.

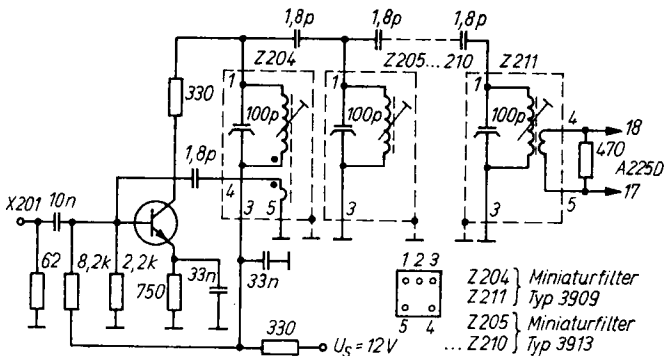


Bild 2.20 8-Kreis-LC-Filter mit Vorverstärker

## 2.3. A 4510 D – ein integrierter PLL-Stereodekoder-Schaltkreis

### 2.3.1. Allgemeine Eigenschaften

Der A 4510 D ist vorwiegend für den Einsatz in batteriebetriebenen Geräten mit einer Betriebsspannung ab 6V konzipiert. Die Stromaufnahme wird im Monobetrieb auf etwa 7mA gegenüber Stereobetrieb ( $\approx 12\text{mA}$ ) abgesenkt. Die Aufbereitung des 38-kHz-Hilfsträgersignals aus dem Piloton erfolgt mit einer PLL (phasenverkettete Schleife), wobei der Oszillator auf 228kHz schwingt und der Stereohilfsträger sowie die 19-kHz-Vergleichsfrequenzen durch einen in I<sup>2</sup>L-Technologie aufgebauten Frequenzteiler erzeugt werden. Durch die Trennung der Dekoderschaltung in einen Synchrondemodulator und in eine Matrix kann der A 4510 D bei geeigneter Außenbeschaltung im Zeit- oder Frequenzmultiplexbetrieb arbeiten. Mit Hilfe einer externen Steuergleichspannung kann das demodulierte Differenzsignal abgeschwächt werden und somit ein Überblenden von Stereo auf Mono (Basisbreitensteuerung) ohne Schaltgeräusche vorgenommen werden.



### 2.3.2. Aufbau und Funktionsweise

An Hand des Bildes 2.21 soll die Funktion des *A 4510 D* kurz erläutert werden. Zur Versorgung der einzelnen Funktionsblöcke wird in 2 identisch aufgebauten Stufen je eine stabilisierte Spannung von  $\approx 3\text{ V}$  erzeugt, wobei die Spannung  $U_2$  über den Anschluß (18) abgeschaltet werden kann. Aus der Stabilisierungsstufe  $U_1$  wird eine Referenzspannung von  $1,4\text{ V}$  für den Demodulator, die Matrix und den Eingangsverstärker gewonnen, die am Anschluß (13) zur Verfügung steht. Das Multiplexsignal (MPX) wird kapazitiv am nichtinvertierenden Eingang des Operationsverstärkers eingekoppelt und gelangt bei unbeschaltetem Anschluß (15) mit Verstärkung 1 über einen Emitterfolger, dessen Arbeitswiderstand extern angeschaltet werden muß, zum Anschluß (14). Das MPX-Signal kann durch geeignete Beschaltung an (15) in Amplitude und Phasengang in bestimmten Grenzen beeinflußt werden, wobei die maximale Ausgangsspannung des OPV  $U_{ss} = 1100\text{ mV}$  nicht überschreiten sollte. Der Oszillator bildet zusammen mit der Phasenvergleichsschaltung 1, dem externen Tiefpaßfilter zwischen Anschluß (3) und (4), dem Regelverstärker und der Teilerschaltung die PLL zur Regenerierung des 38-kHz-Hilfsträgers aus dem Pilotton.

Der Oszillator arbeitet nach dem Schwellwertschalterprinzip, wobei die Aufladezeit des Kondensators am Anschluß (2) nur  $\approx 5\%$  der gesamten Schwingungsdauer beträgt. In den nachfolgenden Teilerstufen wird das 38-kHz-Schaltssignal für den Demodulator und es werden die beiden 19-kHz-Vergleichsfrequenzen für die Phasenvergleichsstufen gewonnen. Das um  $90^\circ$  phasengedrehte 19-kHz-Signal wird im Phasenvergleich 1 mit dem Pilotsignal verglichen und die über dem Tiefpaßfilter entstehende Differenzspannung im Regelverstärker in einen proportionalen Regelstrom gewandelt, der den Oszillator nachsteuert. Im Phasenvergleich 2 wird eine Spannung erzeugt, die bei entsprechender Größe des Pilotsignals den Stereoschalter und die Mono-Stereo-Überblendschaltung aktiviert. Mit einer Steuergleichspannung am Anschluß (8) läßt sich das 38-kHz-Schaltssignal so beeinflussen, daß das im Demodulator umgesetzte Differenzsignal (L-

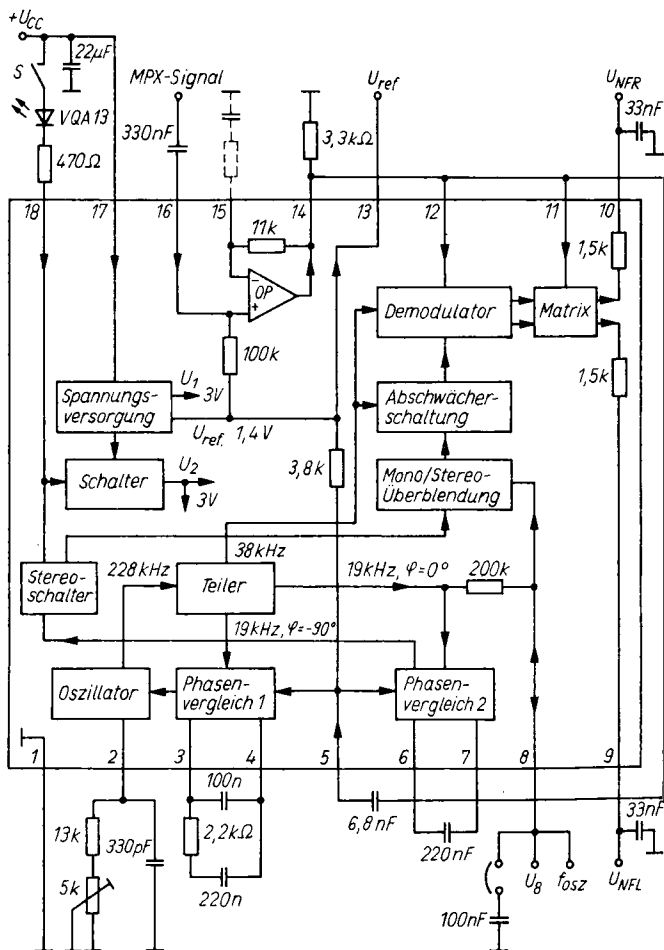


Bild 2.21 Übersichtsschaltplan und Meßschaltung des A 4510 D

R) in der Amplitude abgeschwächt wird. Bei der nachfolgenden Addition des Summen- und Differenzsignals in der Matrix überwiegt somit das (R+L)-Signal und damit der Mono-Anteil. Am Anschluß (8) steht gleichzeitig die durch 12 geteilte Oszillatorfrequenz mit einem Innenwiderstand von  $\approx 200\text{k}\Omega$  zu Abgleichzwecken zur Verfügung.

### 2.3.3. Kenndaten und Abhängigkeiten

#### 2.3.3.1. Abmessungen und Anschlußbelegung

Der Schaltkreis *A 4510 D* wird in einem 18poligen DIL-Plastgehäuse, Bauform 21.4.1.2.18 nach TGL 26713 mit einem Rastermaß von 2,54mm (Zoll) gefertigt. Die nachfolgend angegebenen Gleichspannungspegel sind mit der Meßschaltung Bild 2.21 ermittelt und unterliegen Fertigungstolerenzen. Sie sind bei der Schaltungsdimensionierung bzw. bei der Fehlersuche als Richtwerte zu betrachten.

<i>Anschlußbelegung</i>	<i>Gleichspannung ohne Eingangssignal</i>
1 – Masse	0V
2 – RC-Oszillator	–
3, 4 – Tiefpaßfilter für PLL (Phasenvergleich 1)	2,9V
5 – Piloteingang für Phasenvergleichsschaltungen	1,3V
6, 7 – Tiefpaßfilter für Stereokennung (Phasenvergleich 2)	2,9V
8 – 19-kHz-Meßausgang bzw. Mono-Stereo-Überblendung	1,5V
9 – NF-Ausgang links (L)	2,1V
10 – NF-Ausgang rechts (R)	2,1V
11 – Matrixeingang (L+R)	1,4V
12 – Synchrondemodulatoreingang (L–R)	1,4V
13 – Referenzspannung	1,4V
14 – Operationsverstärkerausgang (OPV)	1,4V
15 – Invertierender Eingang des OPV	1,4V
16 – Nichtinvertierender Eingang des OPV	1,4V
17 – Betriebsspannung $U_{CC}$	$U_{CC}$
18 – Lampentreiber und Zwangsmonoschalter	

### 2.3.3.2. Grenzwerte und Betriebsbedingungen

In Tabelle 2.6. sind die Grenzwerte und Betriebsbedingungen zusammengefaßt, die im Betrieb nicht unter- bzw. überschritten werden dürfen, damit eine sichere Funktion des Schaltkreises gewährleistet ist.

Tabelle 2.6. Grenzwerte und Betriebsbedingungen des A 4510 D

Kenngröße	Kurzzeichen	Einheit	Kleinstwert	Größtwert
Lampenspannung	$U_{18}$	V	0	$U_{CC}$
Mono-Stereo-Steuer- spannung	$U_8$	V	0	3
Lampenstrom	$I_{18}$	mA		50
Gesamtverlustleistung bei $\vartheta_a = 25^\circ\text{C}$	$P_{\text{tot}}$	W		0,67
Betriebsspannung für Stereo	$U_{CC}$	V	5	18
Eingangsspannung Anschluß (16)	$u_{\text{IMXPp}}$	V		0,9
Betriebstemperatur- bereich	$\vartheta_a$	$^\circ\text{C}$	-10	70

### 2.3.3.3. Kennwerte

Die in Tabelle 2.7. enthaltenen Kennwerte wurden in der Labor-meßschaltung (Bild 2.21) bei Raumtemperatur, einer Betriebs-spannung von  $U_{CC} = 8\text{V}$  und einem Eingangssignal (Spitze-Spitze-Wert) von  $u_{\text{ipp}} = 700\text{mV}$  ermittelt. Die freilaufende Oszillatorfrequenz, bezogen auf den Meßausgang am Anschluß (8), ist vor der Messung der Stereokenngrößen auf 19,000kHz abzugleichen. Die exakten Meßbedingungen und Meßverfahren sind der TGL 43158 zu entnehmen.

**Tabelle 2.7. Kennwerte des A 4510 D**

Kenngröße	Kurzzeichen	Einheit	min.	typ.	max.
Stromaufnahme (ohne Lampenstrom)	$I_{CC}$	mA		12	15
Stromaufnahme (bei Zwangsmo)	$I_{CC}$	mA		6,5	8
Übersprech- dämpfung	$a_u$	dB	30	44	
Klirrfaktor Mono	$k_H$	%		0,08	0,6
Klirrfaktor Stereo	$k_s$	%		0,18	
NF-Ausgangsspannung Mono	$u_{9pp}$ $u_{10pp}$	mV	250	390	500
NF-Ausgangsspannung Stereo	$u_{9pp}$ $u_{10pp}$	mV	500	780	1000
Kanalgleichheit Mono	$a_M$	dB		0,1	1
Kanalgleichheit Stereo	$a_s$	dB		0,1	
19-kHz-Unterdrückung	$a_{19}$	dB	28	32	
38-kHz-Unterdrückung	$a_{38}$	dB		42	
Stereoeinschaltsschwelle	$u_{pe}$	mV		14,5	
Stereoausschaltsschwelle	$u_{pa}$	mV		8	
Schalthysterese	$a_H$	dB		5,1	
Fangbereich	$\pm \Delta f$	Hz		750	
Verstärkung Mono	$A_u$	dB		2	
Verstärkung Stereo	$A_u$	dB		1,9	
Signal-Störabstand	$a_{SN}$	dB	60	79	
Brummunterdrückung	$a_{100}$	dB		40	

### 2.3.3.4. Abhängigkeiten

Die Kurvenverläufe in den Bildern 2.22 bis 2.24 geben prinzipielle Abhängigkeiten wieder und sollen den Amateur beim Eigenentwurf von Schaltungen über die Kennwerte hinausgehende Informationen über das Verhalten des Stereodekoderschaltkreises *A 4510 D* geben.

Bei der Einstellung der Basisbreite läßt sich aus Bild 2.22 bei vorgegebener Feldstärkespannung des ZF-Verstärkers die zu erwartende Übersprechdämpfung des Dekoders ablesen. Dabei bedingt eine große Übersprechdämpfung wegen der hohen zu verarbeitenden Bandbreite des Dekoders (max. 53kHz) bei kleinem HF-Eingangssignal einen geringen Signal/Rauschabstand.

Bei Verwendung der im Abschnitt 2.3.4. angegebenen Dekoderschaltungen und exaktem Abgleich können die im Bild 2.23 dargestellten Übersprechdämpfungswerte im NF-Bereich erreicht werden.

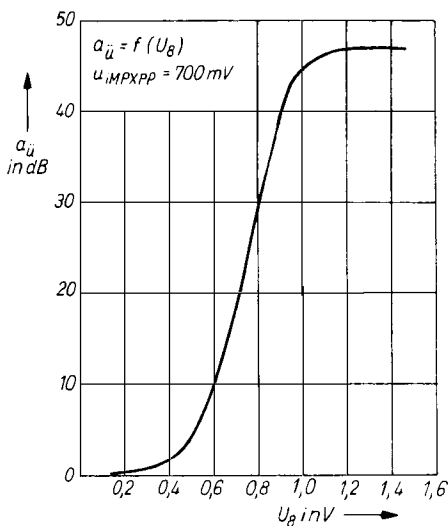


Bild 2.22  
Übersprechdämpfung  
als Funktion  
der Mono-Stereo-  
Steuerspannung

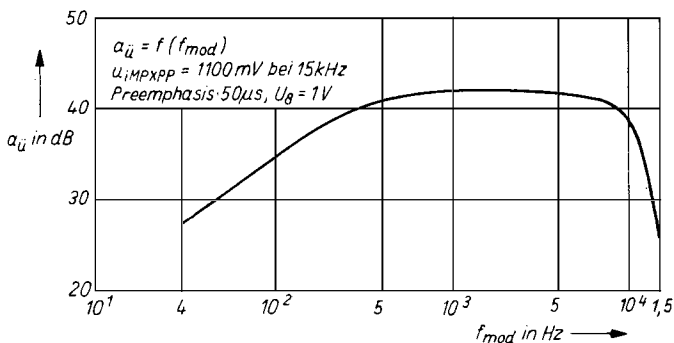


Bild 2.23 Übersprechdämpfung als Funktion der Modulationsfrequenz

Bild 2.24 zeigt, daß der Klirrfaktor im Stereobetrieb bei Eingangsspannungen  $u_{\text{IMPxpp}} < 700 \text{ mV}$  ab  $5,5 \text{ V}$  Betriebsspannung einen Wert von  $0,2 \%$  nicht überschreitet. Wird die Betriebsspannung verringert, muß die Eingangsspannung ebenfalls verringert werden, um einen akzeptablen Klirrfaktor zu erreichen. Dem Einsatz des *A 4510 D* bei Betriebsspannungen zwischen  $4 \dots 5 \text{ V}$  sind durch die minimale Stereoeinschaltsschwelle und den Klirrfaktor Grenzen gesetzt.

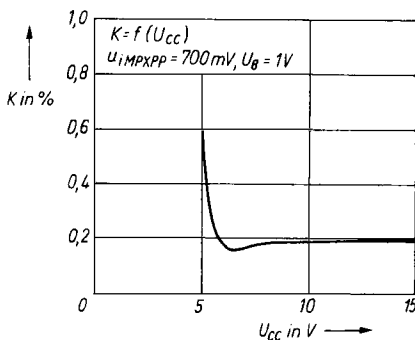


Bild 2.24  
Klirrfaktor  
als Funktion  
der Betriebsspannung

### 2.3.4. Typische Einsatzschaltungen

Eine einfache Schaltung für einen Zeitmultiplexdekodeur ohne Zusatzbeschaltung stellt die Meßschaltung nach Bild 2.21 dar, zu der einige Applikationshinweise gegeben werden sollen.

Der A 4510 D ist wegen des geringen externen Bauelementaufwands und der erreichbaren Kennwerte vorwiegend als Zeitmultiplexdekodeur, (d. h., das gesamte MPX-Signal wird dem Synchrondemodulator und der Matrix zugeführt), einzusetzen. Im Betriebsspannungsbereich 6...15 V sind bei Eingangsspannungen  $u_{\text{IMPXpp}} < 900 \text{ mV}$  gute und weitgehend betriebsspannungsunabhängige Daten zu erwarten.

Für die Stereoanzeige sind ausschließlich LED mit einem Betriebsstrom  $\leq 30 \text{ mA}$  zu verwenden, da bei höheren Strömen die Strombegrenzungsschaltung arbeitet und damit eine Erhöhung der Verlustleistung der IS eintritt.

Zur Zwangsmonoschaltung und bei AM-Empfang ist der Anschluß (18) von der Betriebsspannung zu trennen. Monobetrieb wird ebenfalls erreicht, wenn Anschluß (7) nach Masse geschaltet wird. Dabei arbeitet jedoch der Oszillator weiter, was im AM-Betrieb Störungen verursachen kann.

Der Koppelkondensator am Anschluß (5) bewirkt zusammen mit dem Eingangswiderstand eine definierte Phasendrehung des Pilotsignals und beeinflußt die Übersprechdämpfung.

Der Frequenzgang des Dekoders wird durch den Koppelkondensator am Anschluß (16) und den Eingangswiderstand von  $\approx 100 \text{ k}\Omega$  sowie durch die Deemphasis, die von den Ausgangswiderständen an (9) und (10) und den Kondensatoren von  $33 \text{ nF}$  gebildet wird, bestimmt. Die Toleranz der integrierten Widerstände kann  $\pm 15 \%$  betragen und sollte bei höheren Ansprüchen an den Frequenzgang durch Reihenschaltung von Widerständen gesichert werden. Der Kondensator muß einen Wert entsprechend der Gleichung  $\tau = R \cdot C = 50 \mu\text{s}$  haben.

Für den frequenzbestimmenden Kondensator an (2) ist ein Polystyrolkondensator mit geringer Toleranz einzusetzen. Die Kondensatoren an (3) und (4) bestimmen die dynamischen Eigenschaften der PLL und sollten verlustarm sein.



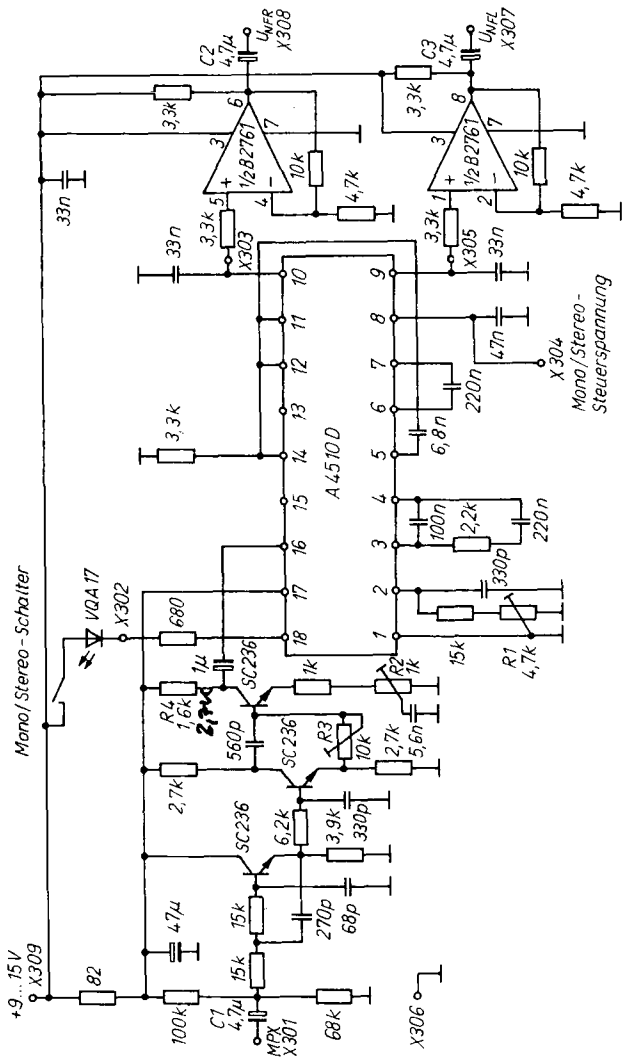
Der Abgleich des Dekoders beschränkt sich auf die Einstellung der Oszillatorfrequenz von 19,00 kHz am Anschluß (8), der nach dem Meßvorgang mit einem Kondensator von  $\geq 1 \text{ nF}$  zur Verbesserung der Übersprechdämpfung abgeblockt werden muß. Behelfsmäßig kann der Abgleich des Einstellwiderstands an (2) bei Vorhandensein eines Pilottons auf Mittelstellung zwischen Einschalten und Verlöschen der Stereoanzeige erfolgen, wobei eine gewisse Frequenzablage, bedingt durch Unsymmetrien im Fangbereich, nicht zu vermeiden ist. Ein merklicher Abfall der Übersprechdämpfung tritt jedoch erst ab 2% Frequenzablage ein.

Der Integrationskondensator zwischen Anschluß (6) und (7) ist in seiner Toleranz unkritisch, jedoch sollte wegen des Reststroms möglichst kein Elektrolytkondensator verwendet werden.

Wird diese Dekoderschaltung in einem FM-Rundfunkempfänger ohne phasenkorrigierende Maßnahmen eingesetzt, lassen sich über HF gemessen bestenfalls Übersprechdämpfungswerte von 25...30 dB erreichen. Die Ursache liegt in der Phasendrehung des MPX-Signals, vor allem zwischen dem Summen- und Differenzsignal. Die Phasendrehung wird verursacht durch die Selektion des ZF-Filters und den Demodulator, einschließlich Phasenschieberkreis. Zur Beseitigung von Nachbarkanalstörungen, die vor allem in Gebieten mit hoher Senderdichte und bei Überreichweiten auftreten, ist der Einsatz von Stereoseitenbandfiltern notwendig, die ihrerseits wiederum eine Phasendrehung des Signals verursachen. Deshalb ist es notwendig, durch sogenannte Allpaßglieder die Phase des MPX-Signals zu korrigieren. Gleichzeitig mit diesen Schaltungsmaßnahmen muß eine Anpassung der NF-Pegel vorgenommen werden.

#### **2.3.4.1. Zeitmultiplexdekode mit Basisbreitenregelung, Seitenbandfilter und Phasenkorrekturschaltung**

Die Beschaltung des *A 4510 D* im Bild 2.25 unterscheidet sich nur unwesentlich von der der Meßschaltung. In den Signalweg wurden ein *Butterworth*-Filter 2. Ordnung mit Zusatzzeitkonstante als Seitenbandfilter mit einer Grenzfrequenz von 75 kHz



und ein sogenannter Phasensplitter zur Phasenkorrektur des MPX-Signals geschaltet. Der OPV *B 2761* verstärkt die Ausgangsspannung der beiden NF-Kanäle zur optimalen Anpassung an den Klangsteller-Schaltkreis *A 1524* um 10 dB. Die Mono/Stereo-Steuerspannung wird dem Feldstärkeausgang des jeweiligen ZF-Schaltkreises entnommen. Der Aufbau der Schaltung ist unter Beachtung der gegebenen Hinweise unkritisch. Die frequenzbestimmenden Widerstände und Kondensatoren im *Butterworth*-Filter sollten geringe Toleranzen haben ( $\pm 5\%$ ), so daß im Seitenband bei 190 kHz eine Dämpfung von  $> 20$  dB erreicht wird. Der Einsatz von Kunstfoliewickelkondensatoren für das Filter und den Phasensplitter ist zu empfehlen. Die Gleichspannungskopplung des OPV an den Ausgang des *A 4510* engt den Betriebsspannungsbereich nach unten auf 9 V ein. Der Abgleich der Oszillatorfrequenz mit  $R_1$  erfolgt wie unter 2.3.4. beschrieben. Ein exakter Phasenabgleich ist nur mit einem stereomodulierten HF-Signal im Empfänger möglich und sollte auf maximale Übersprechdämpfung bei 1 kHz und 10 kHz Modulationsfrequenz mit  $R_2$  und  $R_3$  vorgenommen werden.

Ein amateurmäßiger Abgleich besteht, indem das MPX-Signal an (16) des *A 4510* mit  $R_2$  und  $R_3$  auf eine minimale Durchbiegung der Nulllinie bei Sendung eines Stereomeßtons oszillografisch eingestellt wird.

Bild 2.26 zeigt den Leiterplattenentwurf und Bild 2.27 den Bestückungsplan zu dieser Schaltung. Im Kofferempfängerkonzept nach Bild 3.1 wird der Koppelkondensator  $C_1$  durch eine Brücke ersetzt, und der OPV mit Außenbeschaltung entfällt. In der Empfängerschaltung nach Bild 3.2 wird der Widerstand  $R_4$  durch  $2,7\text{ k}\Omega$  ersetzt. Bei Einsatz des Dekodermoduls in anderen Konzepten ist auf die Polung der Elektrolytkondensatoren  $C_1$ ,  $C_2$  und  $C_3$  zu achten.

### **2.3.4.2. Frequenzmultiplexdeko­der mit dem A 4510 D**

Die dimensionierte Schaltung für einen Frequenzmultiplexdeko­der ist im Bild 2.28 dargestellt. Das am Anschluß (14) anstehende MPX-Signal muß mit dem auf 38 kHz abgestimmten Schwing-

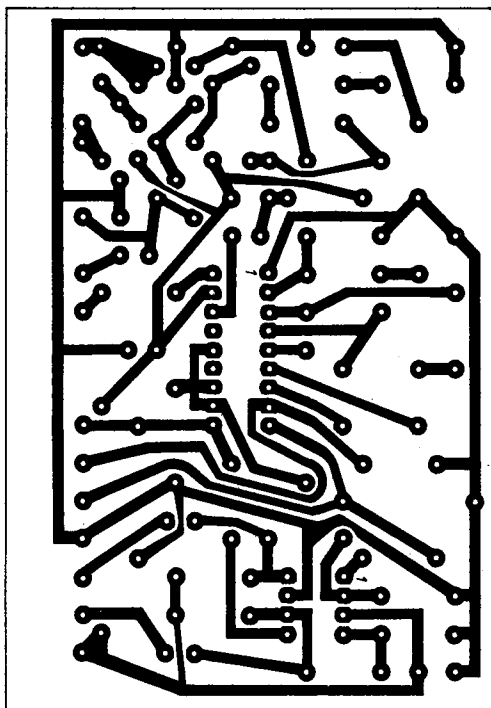
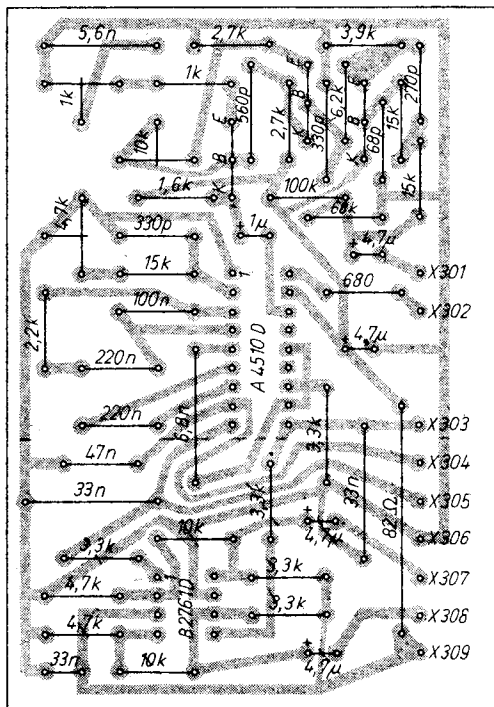


Bild 2.26 Leiterplattenentwurf zur Schaltung Bild 2.25

kreis und dem Widerstandsnetzwerk in seine Komponenten ( $R+L$ ) und ( $L-R$ ) zerlegt und mit der Deemphasis von  $50\mu s$  bewertet werden. Aus diesem Grunde dürfen an den NF-Ausgängen des Dekoders nur Kondensatoren bis maximal  $4,7\text{ nF}$  zur Unterdrückung hochfrequenter Schaltanteile vorgesehen werden. Daten des Resonanzübertragers:  
Schalenkern  $14 \times 8$ ,



**Bild 2.27** Bestückungsplan zu Bild 2.26

**AL = 160, Güte  $Q_0 \approx 50$**

$$n1 = 70,5 \text{ Wdg.}, 0,2\text{mm Cul}, L_1 = 797,4\mu\text{H}$$

**n2 = 141 Wdg., 0,15mm Cul**

Der Nachbau dieser Dekoderschaltung sollte dem versierten Amateur mit entsprechenden Meßmitteln vorbehalten bleiben, da bei nicht exaktem Abgleich die Kennwerte des Zeitmultiplexdekoders nicht erreicht werden.

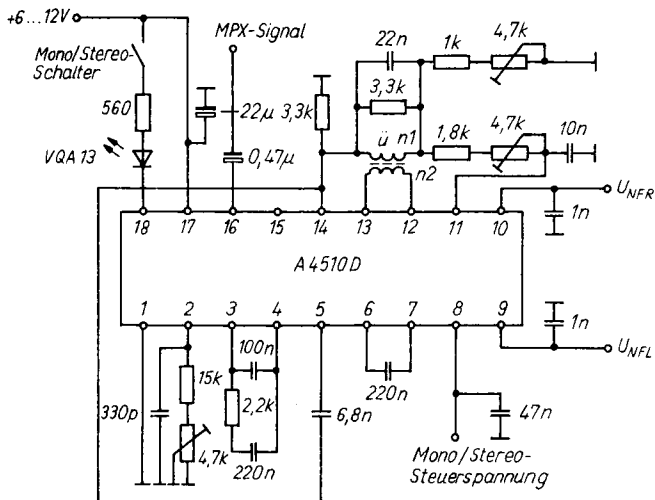


Bild 2.28 Frequenzmultiplexdekodeur mit A 4510 D

## 2.4. NF-Einstellkombinationen

### 2.4.1. Grundsätzliches

Bei der Auslegung des NF-Teils von Rundfunk-, Phono- und Fernsehgeräten werden heute besondere Anforderungen gestellt, die sowohl immer mehr Funktionen als auch deren Fernsteuerbarkeit betreffen. Diese Anforderungen können mit Hilfe von gleichspannungsgesteuerten elektronischen Stellern sehr viel einfacher erreicht werden als mit mechanischen Bauelementen.

Die Vorteile sind:

- Wegfall abgeschirmter Leitungen,
- Einsatz einfacher linearer Potentiometer an Stelle von teuren Doppelpotentiometern,
- Anordnung der Steller direkt im Signalweg möglich,
- kostengünstigere Gerätefertigung.

Die Anforderungen, die an die elektronischen Steller gestellt werden, sind:

- kontinuierliche Einstellung der Lautstärke mit großem Einstellbereich sowie eine gehörrichtige Frequenzgangkorrektur,
- kontinuierliche Balanceeinstellung,
- kontinuierliche Einstellung des Klangbildes durch ausreichendes Anheben oder Absenken bestimmter Frequenzbereiche,
- großes Signal-Rauschverhältnis,
- geringe Klirrfaktoren,
- guter Gleichlauf der Kanäle.

Dazu sind die seit einigen Jahren in Produktion befindlichen Schaltkreise *A 273* und *A 274* und neuerdings der Schaltkreis *A 1524* geeignet.

Das Anwendungsgebiet der Schaltkreise *A 273*, *A 274* ist wegen des engen Betriebsspannungsbereichs von 13,5...16,5V auf netzbetriebene Geräte beschränkt.

Der Schaltkreis *A 1524* kann durch seinen großen Betriebsspannungsbereich von 7,5...16,5V vielfältiger eingesetzt werden. Für tragbare, batteriebetriebene Geräte und besonders in Taschenempfängern werden aber nach wie vor aus Gründen des Leistungsbedarfs passive oder diskret aufgebaute NF-Einsteller eingesetzt. Die Funktion der elektronischen NF-Steller beruht auf dem Grundprinzip der Stromverteilungssteuerung, die sich gut mit Differenzverstärkern realisieren läßt. Im allgemeinen werden 2 Differenzverstärker kreuzgekoppelt, um Gleichspannungsverschiebungen am Ausgang zu vermeiden.

Solche Schaltungen bilden die eigentlichen Stellglieder in elektronischen NF-Stellern. Durch Hinzufügen von Operationsverstärkern entsteht dann die gesamte Stellerschaltung. Ein Spannungskonverter verknüpft außerdem die gebräuchlichen Stellspannungswerte mit den intern benötigten Steuerspannungen. In den Schaltkreisen *A 273*, *A 274* und *A 1524* sind mehrere dieser Basisschaltungen kombiniert worden.

Für den Einsatz von integrierten elektronischen NF-Stellern in NF-Verstärkern sind grundsätzlich andere Kriterien anzuwenden als bei passiven Stellern. Um optimale Signalverarbeitungseigen-

schaften zu erreichen, muß die Anpassung der elektronischen Steller an die NF-Endverstärker, als auch die Berücksichtigung der NF-Quellen, sehr sorgfältig erfolgen.

Die in der TGL für NF-Verstärker festgelegten minimalen und maximalen Eingangspegel von  $U_{\text{imin}} = 0,2\text{V}$  und  $U_{\text{imax}} = 2\text{V}$  legen das erste Kriterium fest.

Mit dem minimalen Signalpegel  $U_{\text{imin}} = 0,2\text{V}$  muß bei voller Aufregelung und linearer Klangstellung bei 1 kHz die Nennausgangsleistung erreicht werden. Aus Gründen eines guten Signal-Rauschabstands bei Nenneingangsspannung  $U_{\text{iNenn}} = 0,5\text{V}$  sollten bei der minimalen Eingangsspannung keine Verstärkungsreserven zugelassen werden.

Das zweite Kriterium betrifft die Anpassung der Endverstärker. Die sich beim minimalen Signalpegel von  $U_{\text{imin}} = 0,2\text{V}$  und maximal eingestellter Verstärkung ergebende, bzw. die mit dem Lautstärkeregler eingestellte, maximal zulässige Ausgangsspannung ist über einen Widerstandsteiler sorgfältig an die Endstufenempfindlichkeit anzupassen.

#### **2.4.2. Funktionsbeschreibung A 273 D/A 274 D**

Der A 273 D ist in einem 16poligen DIL-Plastgehäuse untergebracht und dient zur gleichspannungsgesteuerten Lautstärke- und Balanceeinstellung beider Kanäle in Stereoverstärkern. Außerdem ist eine Frequenzgangkorrektur für die gehörrichtige Lautstärkebeeinflussung integriert.

Weil in einem NF-Verstärker die Vollaussteuerung der Endstufe schon bei relativ kleinem Eingangssignal gewährleistet sein muß und andererseits die Eingangssignalverträglichkeit relativ groß sein soll, wurde der A 273 D so ausgelegt, daß eine maximale Verstärkung von 10dB im Lautstärkesteller eingestellt werden kann und mit zunehmender Abregelung eine Erhöhung der Eingangssignalverträglichkeit erfolgt.

Die beiden im A 273 angeordneten Lautstärkeeinsteller werden von einer gemeinsamen Ansteuerschaltung bedient. Die Eingangstristoren an (11) und (14) erhalten ihre Basisvorspannung über externe Widerstände von 270 k $\Omega$  aus einer intern stabi-



lisierten Spannung an (10). Die Balancesteuerung wirkt gegenseitig auf die gleiche Ansteuerschaltung.

Zur gehörrichtigen Lautstärkebeeinflussung sind für jeden Stereokanal je ein elektronisches Potentiometer mit nachfolgendem Verstärker enthalten. Auch diese Schaltungsteile werden von einer gemeinsamen Ansteuerschaltung bedient und zusätzlich noch mit der Lautstärkesteuerspannung verknüpft.

Die Ausgänge der Lautstärkesteller liegen an (9) und (16), der Balancesteueranschluß an (12), und die Lautstärkesteuerung mit einem Einstellbereich von  $+10 \dots -80 \text{ dB}$  wird über (13) ausgeführt.

Der Balanceeinstellbereich beträgt  $\pm 10 \text{ dB}$ , bei einem Steuerungsbereich wie beim Lautstärkesteller von  $1 \dots 9 \text{ V}$ . Die beiden elektronischen Potentiometer für die gehörrichtige Lautstärkebeeinflussung werden vorzugsweise mit einer Verstärkung von  $10 \text{ dB}$  dimensioniert, so daß insgesamt  $20 \text{ dB}$  Verstärkung zur Verfügung stehen.

Die einzelnen Stufen sind durch Koppelkondensatoren galvanisch getrennt, die Eingangstransistoren der elektronischen Potentiometer an den Anschlüssen (1), (2), (7) und (6) erhalten ihre Basisruhespannung von den Ausgängen 3) bzw. (5). Um die gehörrichtige Lautstärkebeeinflussung einzuschalten, wird der Anschluß (4) über  $820 \Omega$  an Masse geschaltet.

Der Schaltkreis *A 274 D* ist ebenfalls in einem 16poligen DIL-Plastgehäuse untergebracht und dient mit seinen 4 elektronischen Potentiometern zur gleichspannungsgesteuerten Klangeinstellung in Stereoverstärkern.

Dabei werden immer 2 elektronische Potentiometer von einer Schaltung angesteuert. Die Außenbeschaltung der elektronischen Potentiometer bestimmt, ob diese als regelbare lineare Verstärker, Baß- oder Höheneinsteller arbeiten.

Alle Einstellfunktionen lassen sich bei einer Betriebsspannung von  $15 \text{ V}$  mit externen Gleichspannungen von  $1 \dots 10 \text{ V}$  an den Anschlüssen (4) und (12) steuern. Für die Schaltkreise *A 273 D* und *A 274 D* wird ein maximaler Signalpegel von  $1 \text{ V}$  garantiert. Sie lassen sich aber typisch bis zu einem Signalpegel  $U_{\text{eff}} = 1,6 \dots 1,7 \text{ V}$  aussteuern.

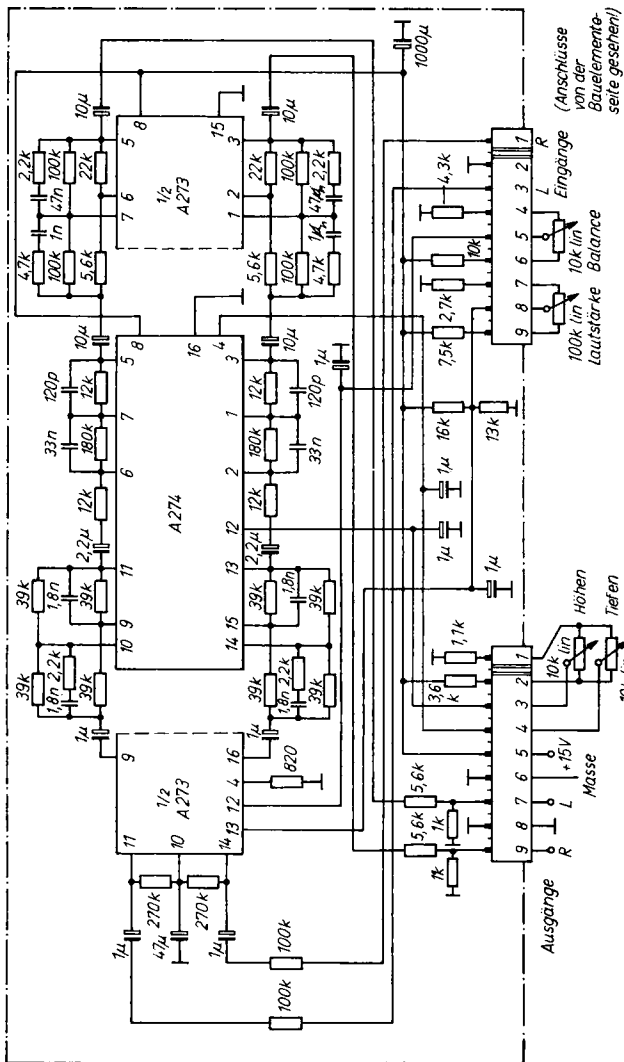


Bild 2.29 Anwenderschaltung A 273 D, A 274 D

### 2.4.3. Schaltungsbeschreibung A 273 D/A 274 D

Die Stellereinheit besteht aus 3 Funktionsblöcken:

- aus dem 1. Teil des A 273 D für die Einstellung von Lautstärke und Balance,
- aus dem 2. Funktionsblock für die Klangeinstellung mit dem Schaltkreis A 274 D und
- aus dem restlichen Teil des A 273 D ebenfalls für die Lautstärkeeinstellung, aber kombiniert mit einer gehörrichtigen Lautstärkeeinstellung, die nicht abschaltbar ist (Bild 2.29).

Die Eingangssignale werden über  $100\text{k}\Omega$  Vorwiderstände und die Koppelkondensatoren an die Eingänge (11) und (14) geführt. Diese Eingangsspannungsteilung sichert eine Eingangssignalverträglichkeit  $U_{\text{ieff}} \geq 2\text{ V}$ . Die Ausgänge des Lautstärke- und Balancestellers Anschlüsse (9) und (16) werden über Koppelkapazitäten an den Klangeinstellfunktionsblock mit dem A 274 D geführt, wobei der 1. Teil die Höhereinstellung und der 2. Teil die Tiefereinstellung übernimmt.

Alle 4 Klangeinstellstufen arbeiten nach dem gleichen Prinzip. Die elektronischen Potentiometer haben jeweils 2 Eingänge und einen Ausgang. Je nach Höhe der Steuerspannung ist entweder der eine oder der andere Eingang aktiviert, so daß die Schaltung in etwa wie ein Überblendregler arbeitet. Über externe RC-Glieder, die zwischen dem Ausgang und den beiden Eingängen liegen, erfolgt die Gegenkopplung. Damit läßt sich der Frequenzgang in Abhängigkeit von der Steuerspannung verändern.

Die gehörrichtige Lautstärkeeinstellung ist mit dem 2. Teil des A 273 D aufgebaut und enthält 2 elektronische Potentiometerschaltungen, die mit geeigneten RC-Gliedern für die gehörrichtige Lautstärkeeinstellung beschaltet sind.

Damit erfolgt durch die Verknüpfung der Lautstärkesteuerspannung mit diesem Schaltungsteil bei Abreglung eine Anhebung der tiefen und hohen Frequenzen. Soll auf die Anhebung der hohen Frequenzen verzichtet werden, kann das RC-Glied  $4,7\text{k}\Omega$  und  $1\text{ nF}$  in beiden Kanälen entfallen. Die Ausgangssignale liegen an (3) und (5) und können über Koppelkondensatoren entnommen werden. Die maximal einstellbare Verstärkung beträgt

$\approx 20$  dB. Der Vorteil dieser Schaltung liegt darin, daß mit dem letzten Funktionsblock die Lautstärke mit abgeregelt wird und somit auch die Rauschspannung am Ausgang.

Der Widerstandsteiler am Ausgang hat die Aufgabe, die Einstellungskombination an den Endverstärker anzupassen.

#### 2.4.4. Schaltungsbeschreibung $3 \times A 274 D$

Die Schaltung nach Bild 2.30 ist mit  $3 \times A 274 D$  bestückt. Die Lautstärkesteuerung ist auch hier aufgeteilt auf die Eingangs- und Ausgangsstufe. Aus Rauschgründen wird die 1. Lautstärke-

**Tabelle 2.8.** Kennwerte der Anwenderschaltung nach Bild 2.29 und Bild 2.30

Parameter ( $U_{CC} = 15 \text{ V}, f = 1 \text{ kHz}$ )	Bild 2.29	Bild 2.30
Nenneingangsspannung $U_{inenn}$ (Effektivwert)	0,5 V	0,5 V
Nennausgangsspannung $U_{onenn}$ (Effektivwert)	1,3 V	1,3 V
Eingangswiderstand $R_i$	$\geq 350 \text{ k}\Omega$	$\geq 220 \text{ k}\Omega$
Fremdspannungsabstand $\alpha_N$ bei $V_u = -26 \text{ dB}$	66 dB	66 dB
Klirrfaktor $k$	0,15 %	0,15 %
maximale Eingangsspannung $U_{imax}$ bei $U_o = 1 \text{ V}, k = 0,7 \%$ (Effektivwert)	$\geq 2 \text{ V}$	$\geq 2 \text{ V}$
maximale Ausgangsspannung $U_{omax}$ bei $U_i = 1 \text{ V}, k = 0,7 \%$ (Effektivwert)	1,7 V	1,6 V
Übersprechdämpfung $a_u$ bei $U_{ieff} = U_{oeff} = 0,5 \text{ V}$	65 dB	65 dB
Balancestellbereich $V_u$ bei $U_i = U_o = 100 \text{ mV}$	+5 dB -8 dB	+9 dB -12 dB
Lautstärkestellbereich $V_G$ bei $U_i = 0,1 \text{ V}$	+20 dB -80 dB	+16 dB -80 dB
Klangstellbereich $H/T V_u$ bei $U_i = 0,1 \text{ V}$	$\pm 15 \text{ dB}$	$\pm 15 \text{ dB}$



steuerstufe über Emitterfolger angesteuert, womit gleichzeitig eine Eingangsimpedanz von  $\geq 220\text{k}\Omega$  erreicht wird. Außerdem ist die Schaltung so ausgelegt, daß sich eine Eingangssignalverträglichkeit  $U_{\text{ieff}} \geq 2\text{V}$  ergibt. Auf diese Stufe folgt die Balancesteuerung; sie ist für einen Bereich von  $+9 \dots -12\text{dB}$  dimensioniert. Im Signalweg ist danach die gehörrichtige Lautstärkesteuerung angeordnet, das Ausgangssignal wird weitergeführt auf die Höhen- und Tiefensteuerschaltung und zuletzt auf die 2. Lautstärkesteuerstufe. Die Anordnung der Schaltungsteile und ihre Dimensionierung ist bezüglich eines hohen Signal-Rauschabstands optimiert. Auch bei dieser Schaltung sind an den Ausgängen Spannungsteiler zur Anpassung an die Endverstärker vorgesehen. Hierbei ist die gehörrichtige Lautstärkesteuerung abschaltbar. Die Kennwerte der Schaltungen in Abschnitt 2.4.3. und 2.4.4. sind in Tabelle 2.8. gegenübergestellt.

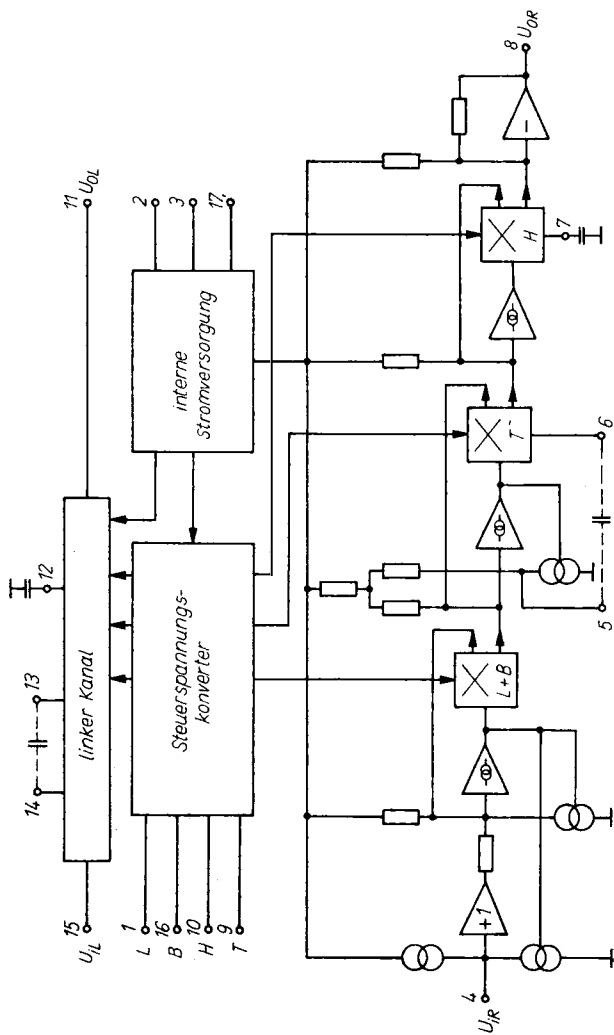
#### **2.4.5. Funktions- und Schaltungsbeschreibung A 1524**

Der A 1524 D ist ein integrierter elektronischer Stereo-NF-Einsteller für die Funktionen Lautstärke, Balance, Höhen, Tiefen und physiologische Lautstärkeeinstellung. Die Schaltung ist in einem 18poligen DIL-Plastgehäuse untergebracht und benötigt nur wenige externe Bauelemente.

Der Speisespannungsbereich reicht von  $7,5 \dots 16,5\text{V}$ . Damit ist der Schaltkreis für gleichspannungsgesteuerte bzw. fernbedienbare Konzepte in vielen Geräten geeignet und stellt eine besonders wirtschaftliche Lösung dar.

Bild 2.31 zeigt den Übersichtsschaltplan des A 1524 D, wobei ein Kanal detaillierter dargestellt ist. Am Eingang des Signaltraktes befindet sich ein Spannungsfolger, der als Buffer zwischen Eingang und den weiteren Schaltungsteilen wirkt. Der nachfolgende Lautstärkesteller besteht aus einem Verstärker mit Stromausgang und einem elektronischen Potentiometer.

Die maximal mögliche Signalverstärkung beträgt  $\approx 21\text{dB}$ . Auf diese Stufe wirkt außerdem die Balancesteuerung, wobei eine Verschiebung der Arbeitspunkte auf der Steuerkennlinie der Lautstärkesteller für links und rechts vorgenommen wird. Die



61 Bild 2.31 Übersichtsschaltplan A 1524 D

Anordnung des Lautstärkestellers am Eingang hat den Vorteil, daß einerseits eine hohe Eingangssignalverträglichkeit realisiert werden kann und andererseits bei hohen Eingangsspannungen und gleichzeitiger Anhebung im Tonsteller interne Übersteuerungen vermieden werden.

Der Nachteil, daß das Grundrauschen der nachfolgenden Klangsteller bei Abregelung nicht reduziert wird, kann kompensiert werden, indem eine definierte Verstärkung im Lautstärkesteller vorgenommen wird und so eine Verbesserung des Signal-Rauschabstands im wirksamsten Teil des Lautstärkestellbereichs erfolgt. Der Ausgang des Lautstärkestellers wird auf den Baßsteller geführt. Dieser ist ähnlich aufgebaut wie der Lautstärkesteller. Der aus (5) herausfließende frequenzabhängige Signalstrom wird in das elektronische Potentiometer eingespeist und führt abhängig von der Steuerspannung des Potentiometers durch Veränderung der Verstärkung und Gegenkopplung zu einer Tiefenanhebung bzw. Tiefenabsenkung. Die Eckfrequenz des Tiefenreglers liegt mit dem Kondensator zwischen (5) und (6) von 56nF bei  $\approx 430\text{Hz}$ .

Das NF-Signal wird nun in den Höhensteller eingespeist. Auch der Höhensteller benötigt für seine Funktion nur einen Kondensator. Im Gegensatz zum Tiefensteller wird dieser Kondensator von (7) nach Masse geschaltet.

Prinzipiell liegt die gleiche Funktion wie beim Tiefensteller vor. Mit einem 15-nF-Kondensator von (7) nach Masse ergibt sich eine Eckfrequenz von  $\approx 2,8\text{kHz}$ . Zur Signalauskopplung dient ein intern gegengekoppelter Operationsverstärker.

Einen weiteren Schaltungsteil stellt die interne Stromversorgung mit der Brummunterdrückung sowie der Erzeugung der Referenzspannungen intern und der Referenzspannung an (17) von  $\approx 3,8\text{V}$  dar. Diese Referenzspannung dient als Oberspannung für die Stellpotentiometer. Die jeweils eingestellten Steuerspannungen an den Anschlüssen (9) – Tiefen, (10) – Höhen, (16) – Balance und (1) – Lautstärke werden über einen Steuerspannungskonverter den internen Stellgliedern beider Kanäle zugeführt. Für die gehörrichtige Lautstärkeeinstellung wird ein Teil des Tiefeneinstellbereichs des Tiefenstellers mitbenutzt. Dazu



wird bei Physiologie «EIN» die Lautstärkesteuerspannung mit der Tiefensteuerspannung im Steuerspannungskonverter verknüpft. Die für die gehörrichtige Lautstärkeeinstellung erforderliche Tiefenanhebung schränkt in dieser Funktion den Einstellbereich des Tiefenstellers ein.

Durch die definierte Belastung des Anschlusses (17) mit einem Widerstand von  $2,2\text{k}\Omega$  nach Masse wird die Physiologie ausgeschaltet. Um Knackgeräusche beim Umschalten zu vermeiden, ist ein entsprechend dimensioniertes  $RC$ -Glied vorgesehen.

Liegt der Ausgangsstrom  $-I_{17}$  unter  $0,5\text{mA}$ , ist die Physiologie eingeschaltet, dies ist mit Stellpotentiometerwerten von  $47\text{k}\Omega$  (linear) gegeben.

Durch die Abnahme der Potentiometerüberspannung von der internen Referenzspannung ergibt sich eine ausreichende Siebung der Steuerspannungen und gleichzeitig eine gute Temperaturstabilität der Stellerarbeitspunkte.

Zwischen den Anschlüssen (8) und (6) sowie (11) und (13) befinden sich Gleichspannungsgegenkopplungen, die den bei analogen Stellvorgängen unvermeidlichen Offset reduzieren und eine höhere Aussteuerung der Ausgänge ermöglichen. Die  $0,1\text{-}\mu\text{F}$ -Kondensatoren an den Steuereingängen nach Masse sollen ein Eindringen von Störspannungen verhindern. Die Betriebsspannung für den *A 1524 D* liegt an (3), während der Kondensator an (2) zur Abblockung der internen Versorgungsspannung dient.

Die Eingangsimpedanz des *A 1524* ist abhängig von der eingestellten Verstärkung und verringert sich von  $120\text{k}\Omega$  bei Abreglung auf  $\approx 12\text{k}\Omega$  bei voller Aufreglung. Somit muß die Ansteuerung des *A 1524* mit niedriger Quellimpedanz erfolgen.

Um gleichzeitig eine hohe Eingangsimpedanz des NF-Eingangs zu erreichen, bietet sich ein Emitterfolger in Bootstrapschaltung an. Auf den Signal-Rauschabstand der Gesamtschaltung wirkt sich diese zusätzliche Transistorstufe pro Kanal kaum aus, da die dominierende Rauschspannung durch die Stromverteilungssteuerung im *A 1524* erzeugt wird.

## 2.4.6. Kennwerte und Abhängigkeiten des A 1524 D

Die Bauelemente A 1524 D werden bei der Fertigung in einer speziellen Meßschaltung gemessen und bewertet, die an automatische Meßsysteme angepaßt ist. Diese Meßschaltung ist Bestandteil der TGL. In der im Bild 2.32 dargestellten Schaltung wurden die typischen Kenndaten und Abhängigkeiten ermittelt; die Kenndaten sind in Tabelle 2.9. zusammengefaßt.

Tabelle 2.9. Kenndaten des A 1524 D

Parameter ( $U_{CC} = 12 \text{ V}, f = 1 \text{ kHz}$ )	Einheit	typ.	Wert
Stromaufnahme	mA	40	
maximale Verstärkung ( $U_i = 0,1 \text{ V}$ )	dB	21	
maximale Abregelung ( $U_i = 1 \text{ V}$ )	dB	80	
Tiefenstellumfang ( $U_i = 0,1 \text{ V}, f = 40 \text{ Hz}$ )	dB	+ 17,8 - 21,3	
Höhenstellumfang ( $U_i = 0,1 \text{ V}, f = 16 \text{ kHz}$ )	dB	+ 14,6 - 14,8	
Balancestellumfang ( $U_i = 0,1 \text{ V}, f = 1 \text{ kHz}$ )	dB	+ 0,32 - 41,5	- 43,7 + 0,14
Rauschspannung abgeregelt $R_G = 600 \Omega$	$\mu\text{V}$	52	
Rauschspannung aufgeregelt B = 15 Hz ... 15 kHz	$\mu\text{V}$	225	
Übersprechdämpfung ( $f = 10 \text{ kHz}$ ) R $\rightarrow$ L	dB	68,2	
(Eingang offen, $U_i = U_o = 1 \text{ V}$ ) L $\rightarrow$ R	dB	71,2	
Brummunterdrückung ( $R_G = 600 \Omega$ ) ( $A_u = 0 \text{ dB}, f = 100 \text{ Hz}, U_{\text{Brumm}} = 0,2 \text{ V}$ )	dB	47	
Aussteuerfähigkeit ( $U_i = 0,3 \text{ V}, k = 0,5 \%, 1 \text{ kHz}$ )	V	3,2	
der Ausgänge ( $U_i = 0,3 \text{ V}, k = 1 \%, 40 \text{ Hz}$ )	V	2,4	
( $U_i = 0,3 \text{ V}, k = 1 \%, 16 \text{ kHz}$ )	V	2,5	
( $U_{CC} = 15 \text{ V}, U_i = 0,5 \text{ V}, k = 0,5 \%, 1 \text{ kHz}$ )	V	4,0	
Aussteuerfähigkeit ( $U_o = 1 \text{ V}, k = 0,5 \%, 1 \text{ kHz}$ )	V	2,5	
der Eingänge ( $U_{CC} = 15 \text{ V}, U_o = 1 \text{ V}, k = 0,5 \%, 1 \text{ kHz}$ )	V	2,5	
Klirrfaktor ( $U_i = 0,3 \text{ V}, U_o = 1 \text{ V}, 1 \text{ kHz}$ )	%	0,13	



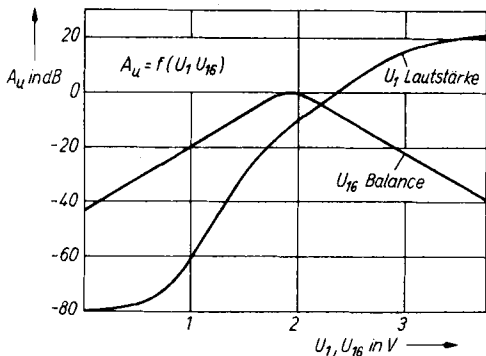


Bild 2.33 Lautstärke- und Balancereglerkurven

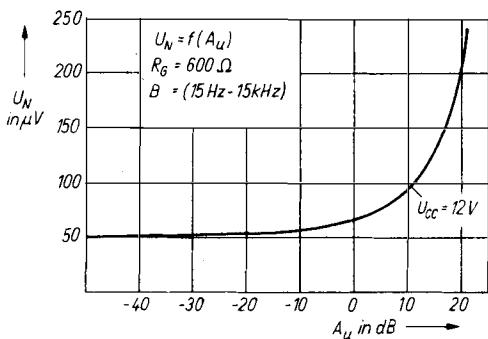


Bild 2.34 Verlauf der Ausgangsrauschspannung über  $A_u$

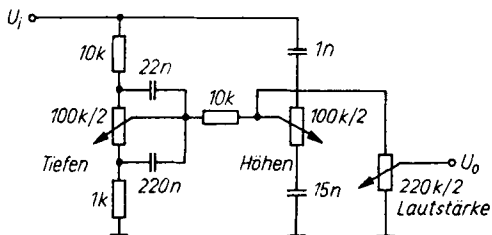


Bild 2.35  
Passiver  
Klangeinsteller  
(ein Kanal)

### 2.4.7. Passiver Klangeinsteller

Passive Klangeinsteller werden noch in einfachen Mono- oder Stereoverstärkern und besonders in tragbaren, batteriebetriebenen Geräten aus Gründen des Leistungsbedarfs eingesetzt. In Bild 2.35 ist eine Schaltung angegeben, die folgende Daten aufweist:

Tiefenregelbereich bei  $f = 40 \text{ Hz} \pm 17 \text{ dB}$ ,

Höhenregelbereich bei  $f = 16 \text{ kHz} \pm 17 \text{ dB}$ ,

Verstärkung bei  $f = 1 \text{ kHz}$  und linearer Klangstellung

$V_u = -25 \text{ dB}$ .

### 2.4.8. Aktiver Klangeinsteller

Um den Nachteil der hohen Signaldämpfung zu vermeiden, muß ein aktiver Klangsteller eingesetzt werden. Das Klangregelnetzwerk wird in der Gegenkopplung einer Verstärkerstufe angeordnet. Bild 2.36 zeigt die Schaltung: Der Eingangsemitterfolger in Bootstrapschaltung sorgt für eine hohe Eingangsimpedanz.

Mit dieser Schaltung werden folgende Daten erreicht:

Tiefenregelbereich bei  $f = 40 \text{ Hz} \pm 19 \text{ dB}$ ,

Höhenregelbereich bei  $f = 16 \text{ kHz} \pm 17 \text{ dB}$ ,

Klirrfaktor  $\leq 0,5 \%$  bei  $U_o \leq 1 \text{ V}$ ,  $\leq 0,1 \%$  bei  $U_o \leq 250 \text{ mV}$

Verstärkung bei  $1 \text{ kHz}$  und linearer Klangstellung  $= 0,91$ .

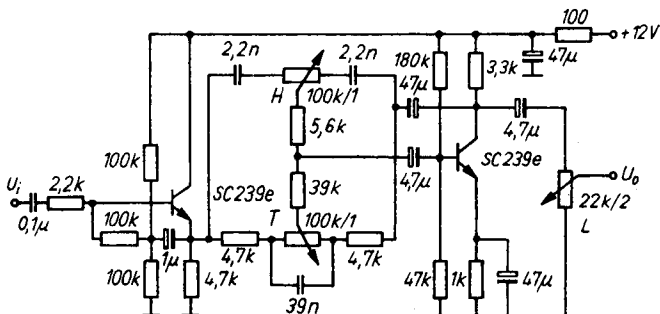


Bild 2.36 Aktiver Klangeinsteller (ein Kanal)

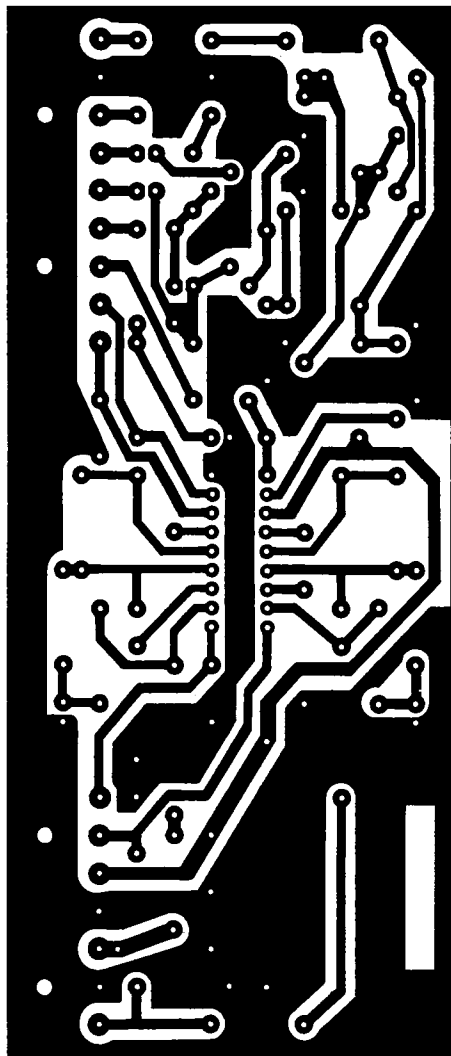


Bild 2.37 Leiterplatte der Baugruppe A4



## **2.5. Doppel-NF-Leistungsverstärker A 2000 V und A 2005 V**

### **2.5.1. Allgemeine Eigenschaften**

Mit dem integrierten Doppel-NF-Leistungsverstärker *A 2000 V* / *A 2005 V* wird ein neuer NF-Schaltkreis vorgestellt, mit dem man gegenüber *A 210* und *A 2030* bei Verwendung von unsymmetrischer Betriebsspannung Material und externe Bauelemente einsparen kann. Eine Reihe von integrierten Schutzschaltungen geben dem Schaltkreis eine erhöhte Betriebszuverlässigkeit. Die Schaltkreise *A 2000 V*, *A 2005 V* haben eine gemeinsame Grundstruktur, die sich nur in der Ruhestromaufnahme, dem intern begrenzten Ausgangsspitzenstrom als auch in der Ausgangsleistung unterscheiden. Der *A 2000 V* ist für Radiorecorder mit typisch  $2 \times 5 \text{ W}$  an  $4 \Omega$  bei  $14,4 \text{ V}$  und der *A 2005 V* für Autoradios mit typisch  $2 \times 10 \text{ W}$  an  $2 \Omega$  bei  $14,4 \text{ V}$  Betriebsspannung vorgesehen. Schaltkreise mit dem Buchstaben «m» nach dem V können in der Mono-Brückenschaltung eingesetzt werden. Die HFO-Typen *A 2000 V*, *A 2005 V* haben gegenüber dem *TDA 2005 (MBA 2005)* den Vorteil eines nach kleinen Betriebsspannungen hin ( $4 \dots 18 \text{ V}$ ) erweiterten Bereichs und Stand-by-Betrieb. Deshalb sind die *A 2000 V*, *A 2005 V* in ihrer elektrischen Innenschaltung den Vergleichstypen nicht voll äquivalent, wohl aber in ihrer Außenbeschaltung und Anschlußbelegung und damit austauschbar.

### **2.5.2. Funktionsbeschreibung**

Der innere Schaltungsaufbau der *A 2000 V*, *A 2005 V* wird durch den im Bild 2.39 gezeigten Übersichtsschaltplan dargestellt. Das Chip befindet sich in einem 11poligen TO-220-Gehäuse, dessen Anschlußmaße nicht dem üblichen 2,5-mm-Raster entsprechen. Im Bild 2.40 wird dazu die Gehäuseskizze vorgestellt. Das an den Eingängen angelegte Signal wird über Eingangsstufe, Vorverstärkerstufe, Treiberstufe und Endstufe zum Ausgang übertragen. Dabei greifen an den verschiedenen



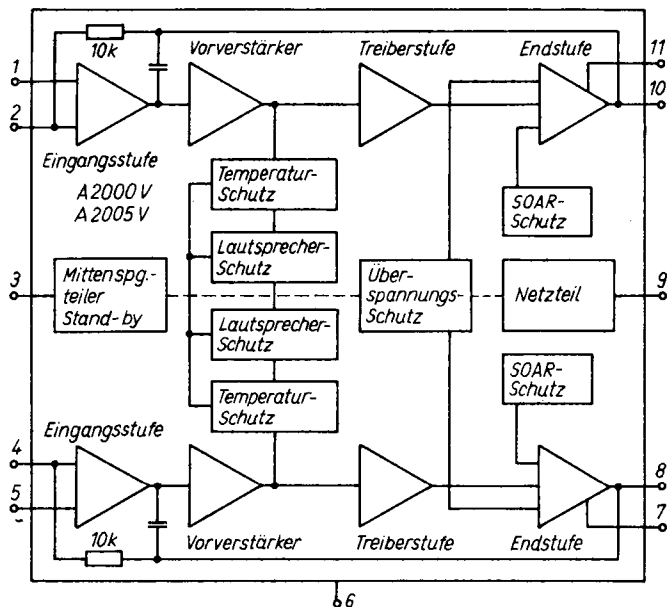


Bild 2.39 Übersichtsschaltplan A 2000 V, A 2005 V

Stellen die integrierten Schutzschaltungen für Temperatur, Überspannung, SOA- und Lautsprecherkurzschluß ein, die zusammen mit der Referenz und der Mittenspannungsregelung die volle Funktion des Schaltkreises sichern.

### 2.5.2.1. Signalweg

Die Eingangsstufe ist ein npn-Transistor in Emitterschaltung. Seine Basis liegt auf etwa 1,3 V und ist mit dem Anschluß (1)–(5) direkt verbunden. Deshalb ist eine galvanische Trennung zu den äußeren NF-Quellen erforderlich. Die Impedanz der Signalquellen sollte  $\leq 47 \text{ k}\Omega$  gewählt werden, damit Streuungen des Eingangswiderstands ohne Einfluß bleiben und ein optimales

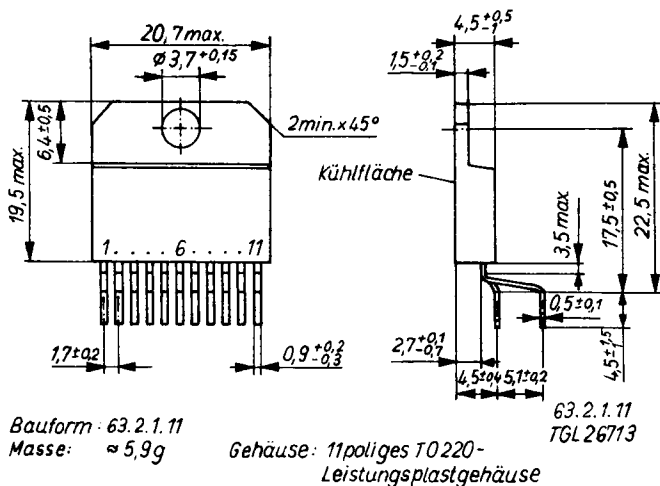


Bild 2.40 Gehäuseskizze A 2000 V, A 2005 V

Rauschverhalten erreicht wird. Die Grenzfrequenz ist im Vorverstärker durch interne Kondensatoren eingestellt, sie wird dadurch verstärkungsabhängig und liegt dabei immer noch weit über dem üblichen NF-Bereich. Am Gegenkopplungsanschluß (2)–(4) liegt eine Gleichspannung von etwa 0,65 V an, die eine galvanische Trennung erfordert. Der Eingangswiderstand beträgt etwa 10 k $\Omega$ . Über diesen Anschluß wird mit dem äußeren Widerstandsteiler vom Ausgang gegen Masse die Verstärkung eingestellt. Die Treiberstufen ermöglichen eine Bootstrapschaltung am Anschluß (11)–(7). Die integrierten Bootstrapwiderstände betragen  $\approx 75\Omega$ . Somit kann man durch äußere Bootstrapkapazitäten eine Spannungsaufstockung vornehmen, um über die Treiberstufen eine niedrige Sättigungsspannung der «oberen» Endstufentransistoren zu erreichen. Die Gegentakt-B-Stufen sind für unterschiedliche Ausgangsspitzenströme ausgelegt und betragen  $I_0 = 2,5\text{ A}$  beim A 2000 V und  $I_0 = 3,5\text{ A}$  beim

A 2005 V. Der präzise geregelte Endstufenstrom beträgt für den A 2000 V etwa 5 mA und für den A 2005 V etwa 20 mA. Bei Betrieb ohne Bootstrapbeschaltung sind die Anschlüsse (11)–(7) auf Betriebsspannung zu legen, gleichzeitig entfällt der 120-k $\Omega$ -Widerstand zwischen (3) und (9) zur Mittenspannungskorrektur.

### **2.5.2.2. Schutzschaltungen**

Die Schutzschaltungen sind ausschließlich zum Schutz des Schaltkreises vorgesehen. Sie dienen nicht dazu, bei der Dimensionierung anderer Schaltungsteile Einsparungen vornehmen zu können.

- Die Temperaturschutzschaltung regelt analog. Bei Inanspruchnahme wird die Ausgangsmittenspannung gegen Masse abgeregelt.
- Der Überspannungsschutz schaltet oberhalb von 18 V die Treiberstufe ab, dabei wird der obere Endstufentransistor hochohmig. Oberhalb von 28 V wird der Schaltkreis zerstört.
- Der SOA-Schutz (Safe Operating Area = sicherer Arbeitsbereich) wird aufgrund der Lastbeschaltung (Lautsprecher gegen Masse) nur für den oberen Transistor wirksam. Bei Inanspruchnahme wird die obere Halbwelle des Sinussignals abgeregelt.
- Der Lautsprecher- und Kurzschlußschutz tritt dann in Funktion, wenn ein Gleichspannungskurzschluß an den Ausgängen (10)–(8) gegen Masse vorliegt. Der Schaltkreis ist wieder betriebsbereit, wenn der Kurzschluß beseitigt ist. Die Ausgänge (10)–(8) dürfen nicht gegen Betriebsspannung kurzgeschlossen werden, denn das führt zur Zerstörung des Schaltkreises.
- Wenn einige Schutzschaltungen gleichzeitig wirken, kann es im Übergangsbereich HF-Schwingungen geben.

### 2.5.2.3. Referenz und Mittenspannungserzeugung

Der Schaltkreis besitzt als Referenz eine Bandgap-Quelle, wodurch die Schutzschaltungen bis etwa 4V betrieben werden können. Zur Mittenspannungskorrektur dient der 120-k $\Omega$ -Widerstand zwischen (3) und (9) bei Bootstrapbeschaltung. Unterhalb von  $U_{CC} = 6V$  ist dieser Widerstand zu verkleinern. Der Anschluß (3) ist immer mit 10 $\mu F$  abzublocken. Wird (3) auf Masse gelegt, erfolgt Stand-by-Betrieb. Dabei reduziert sich die Ruhestromaufnahme. Ein Schaltknack ist nicht mehr vorhanden, wenn alle Zeitkonstanten am Schaltkreis entladen sind.

### 2.5.3. Schaltung des NF-Verstärkers

Man kann mit den *A 2000 V*, *A 2005 V* Stereo-NF-Verstärker aufbauen, die die Kennwerte in Tabelle 2.10. erreichen.

#### 2.5.3.1. Stereo-NF-Verstärker

Die Schaltung als Stereo-NF-Verstärker ist dem Bild 2.41 mit seinem Leiterplattenlayout Bild 2.42 und dem Bestückungsplan Bild 2.43 zu entnehmen. Dieser NF-Verstärker kann mit und ohne Bootstrapbeschaltung betrieben werden. Von Interesse bleibt nur noch die Änderung der Verstärkung, wobei auf die maximale Eingangsspannungsverträglichkeit  $U_{ieff} = 250mV$  Rücksicht genommen werden muß. Für eine genaue Verstärkungseinstellung muß der interne 10-k $\Omega$ -Widerstand zwischen (2)–(4) und (10)–(8) berücksichtigt werden.

$$A_u = 1 + \frac{\frac{R_{GK} \cdot R_1}{R_{GK} + R_1}}{R_2}$$

und vereinfacht:

$$A_u = 1 + \frac{R_1}{R_2} .$$

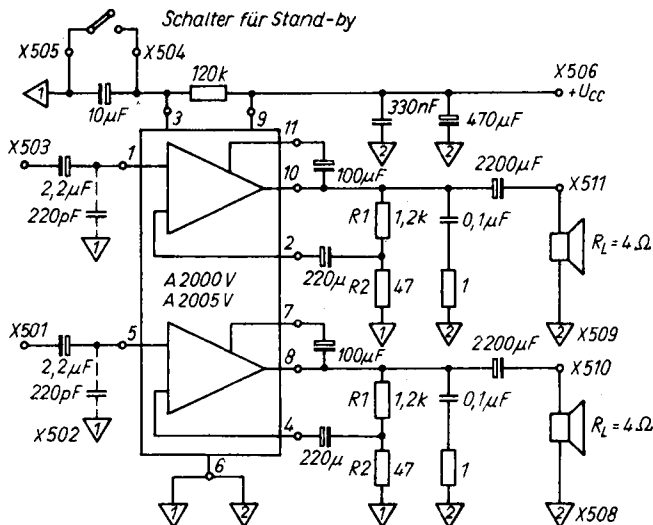


Bild 2.41 Schaltung eines Stereo-NF-Verstärkers mit A 2000 V/  
A 2005 V (Baugruppe A5)

$A_u$  – Spannungsverstärkung

$R_1$  – äußerer Widerstand zwischen (10–2) und (8–4)

$R_2$  – äußerer Widerstand zwischen (2–4) und Masse

$R_{GK} = 10\text{ k}\Omega$  (interner Gegenkopplungswiderstand der IS)

Für ausreichende Stabilität sollten die Verstärkungsspannteiler geschaltet werden. Die *Boucherot*-Glieder  $1\ \Omega$  und  $0,1\ \mu\text{F}$  sind unbedingt auf die Ausgangsmasse zu schalten.

Die untere Grenzfrequenz wird durch die Größe des Auskoppelkondensators und des Lastwiderstands bestimmt. Die obere Grenzfrequenz beträgt für die Eckpunkte des Verstärkungseinstellbereiches mit

$A_u = 52\text{ dB} \approx 30\text{ kHz}$  bzw.

$A_u = 24\text{ dB} \approx 280\text{ kHz}$ .

Eingangs- und Ausgangsmasse sind unbedingt getrennt an Anschluß (6) heranzuführen.

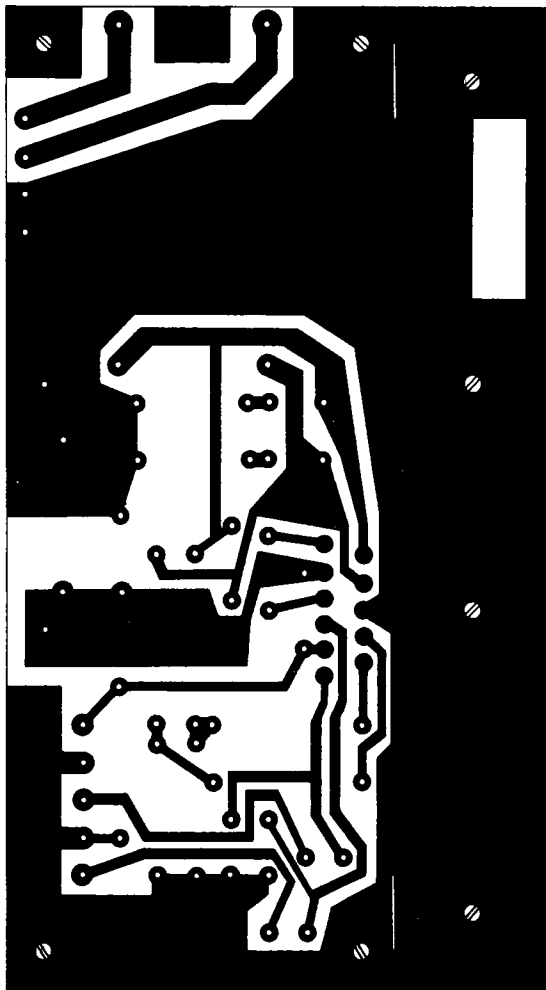


Bild 2.42 Leiterplatte für den Stereo-NF-Verstärker (Baugruppe A5)

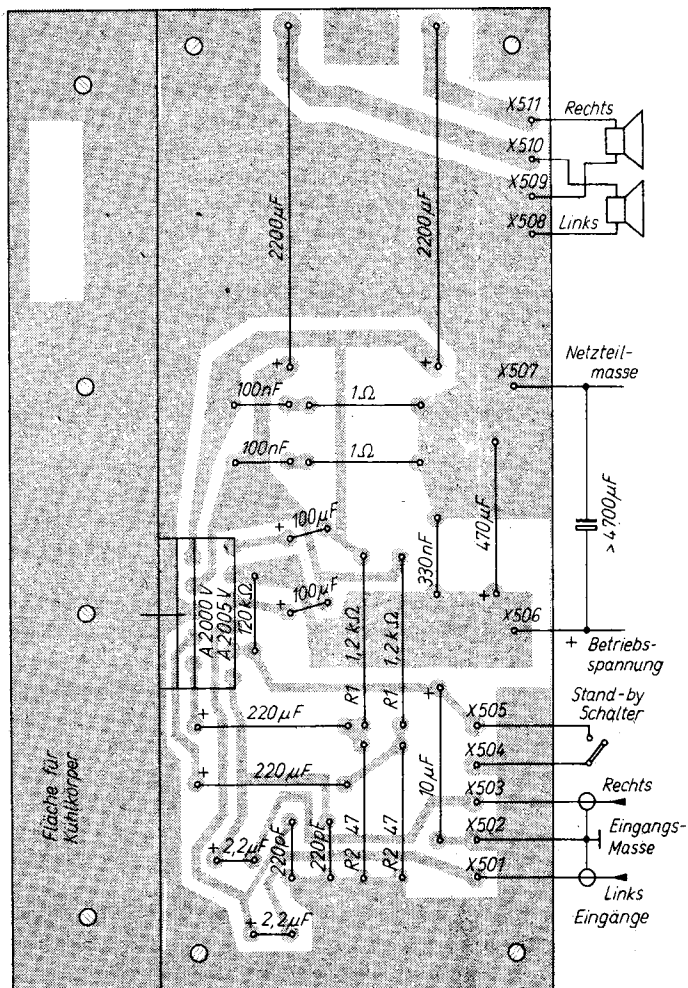


Bild 2.43 Bestückungsplan der Baugruppe A5

**Tabelle 2.10.** Kennwerte des A 2000 V/A 2005 V für  $U_{CC} = 14,4 \text{ V}$ ,  
 $R_L = 4 \Omega$ ,  $f = 1 \text{ kHz}$ ,  $A_K = 4 \text{ K/W}$ , bei  $25^\circ\text{C}$

		A 2000 V	A 2005 V
Betriebsspannungsbereich in V		4 ... 18	4 ... 18
Ruhestrom in mA	im Betrieb	< 40; typ. 28	< 115; typ. 55
	stummgeschaltet	typ. 4,0	typ. 3,6
Ausgangsspitzenstrom in A intern begrenzt		< 2,5	< 3,5
Ausgangsmittenspannung in V		6,6 ... 7,8; typ. 7,2	6,6 ... 7,8; typ. 7,2
Ausgangsmittenspannungs- abweichung in mV für «m»-Typ		< 100; typ. 40	< 100; typ. 30
Ausgangsleistung in VA ( $k = 10\%$ )		> 5,0; typ. 6,3	> 6,0; typ. 6,4
Klirrfaktor in % für $P_o = 50\text{mW}$		< 1,0; typ. 0,25	< 1,0; typ. 0,15
Leerlaufverstärkung in dB		typ. 83	typ. 84
Eingangswiderstand in $k\Omega$	1(5)	> 70; typ. 100	> 70; typ. 180
	2(4)	typ. 10	typ. 10
Eingangsrauschspannung in $\mu\text{V}$ $R_G = 10\text{k}\Omega$ , BW = 20 ... 20000 Hz		typ. 3,0	typ. 4,0
Grenzfrequenz (− 3 dB) in kHz		> 20; typ. 70	> 20; typ. 85
Übersprechen in dB $U_o = 4\text{ V}$ ; $R_G = 10\text{k}\Omega$		typ. 58	typ. 58
Brummspannungsunterdrückung in dB, $U_{\text{mod}} = 0,5\text{ V}$ , $f = 100\text{ Hz}$ , $R_G = 10\text{k}\Omega$		typ. 51	typ. 47
Abschalttemperatur der Schutz- schaltung in $^{\circ}\text{C}$ für $P_o = 6\text{ W}$		typ. 155	typ. 150
Abschaltspannung für Über- spannungsschutz in V		typ. 20,6	typ. 20,4
maximale Gleichspannung in V		28	28
Ausgangsleistung in Brücken- schaltung in VA bei $k = 10\%$			
	$U_{\text{CC}} = 14,4\text{ V}$		typ. 21,3
	$U_{\text{CC}} = 10,5\text{ V}$	typ. 10,9	



### 2.5.3.2. Mono-Brückenschaltung

Um eine möglichst hohe Ausgangsleistung bei geringer Betriebsspannung zu erzielen, kann die im Bild 2.44 dargestellte Schaltung verwendet werden. Bild 2.45 zeigt das zugehörige Leiterplattenlayout und Bild 2.46 den Bestückungsplan. Es eignen sich dazu die Schaltkreise A 2000 Vm und A 2005 Vm.

Brückenverstärker erzeugen gegenüber Einzelverstärkern unter gleichen Betriebsbedingungen etwa die 4fache Ausgangsleistung. Dabei muß beachtet werden, daß die angelegte Betriebsspannung und der maximal zulässige Ausgangsspitzenstrom der Gegentakt-B-Endstufe und deren Sättigungsspannung den unteren Grenzwert des zulässigen Lastwiderstands bestimmen.

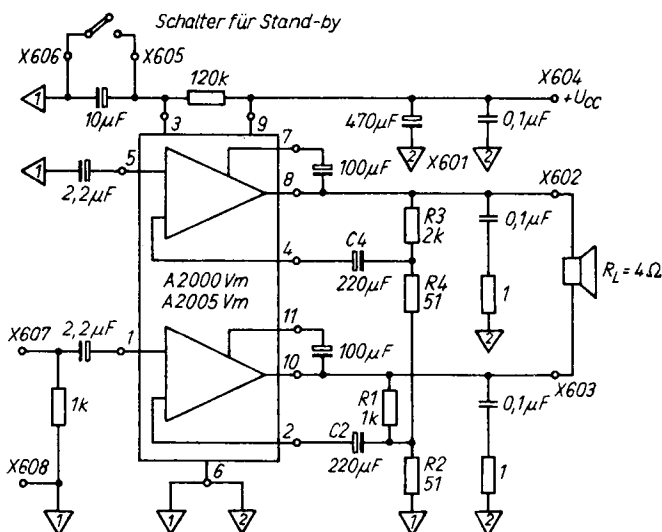


Bild 2.44 Schaltung eines Mono-Brückenverstärkers mit A 2000 Vm/ A 2005 Vm (Baugruppe A6)

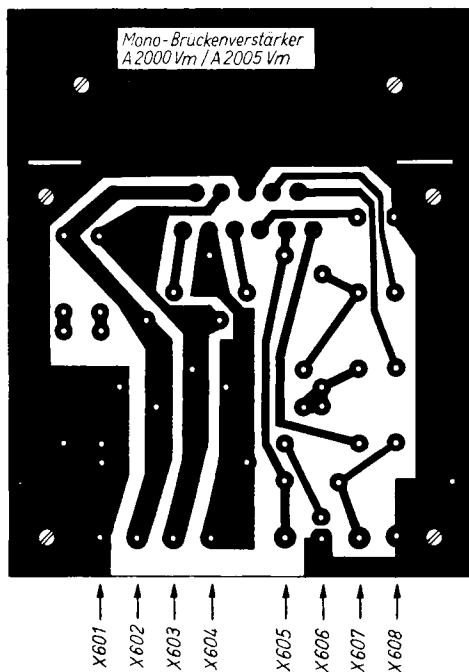


Bild 2.45 Leiterplatte für den Mono-Brückenverstärker

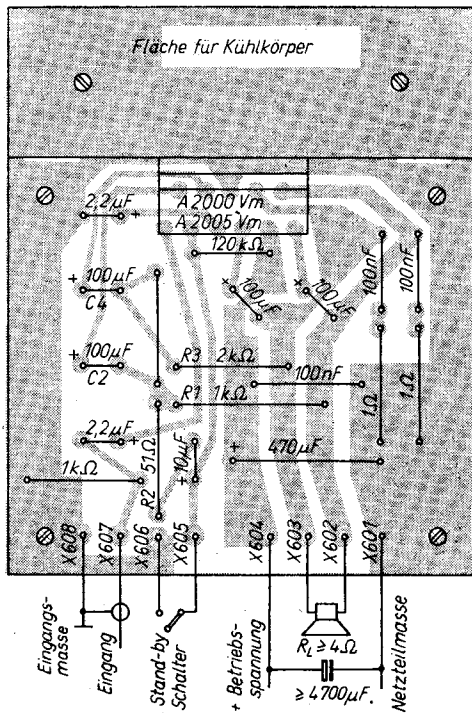


Bild 2.46 Bestückungsplan der Baugruppe A6

Es gilt:

$$R_{Lmin} = \frac{U_{CC} - 2 \cdot U_{CEsat}}{I_{omax}} .$$

$R_{Lmin}$  = minimaler Lastwiderstand

$I_{omax} = 2,5 \text{ A (A 2000 Vm)}; = 3,5 \text{ A (A 2005 Vm)}$

$U_{CEsat} = 2 \text{ V (A 2000 Vm, A 2005 Vm)}$

Mit dem Gegenkopplungsnetzwerk dieser Schaltung (Bild 2.44) wird mit  $R_1$ ,  $R_2$ ,  $R_3$ ,  $R_4$ ,  $C_2$  und  $C_4$  die Verstärkung eingestellt. Dazu gilt dann:

$$A_u = \frac{U_o}{U_i} = 1 + \frac{R_1}{\frac{R_2 \cdot R_4}{R_2 + R_4}} + \frac{R_3}{R_4} .$$

Mit der Annahme  $R_2 = R_4$  und  $R_3 = 2 \cdot R_1$  vereinfacht sich die Gleichung zu:

$$A_u = 4 \cdot \frac{R_1}{R_2} .$$

In der Mono-Brückenschaltung verändern sich einige Kennwerte. So verringert sich die maximale Eingangsspannungsverträglichkeit auf  $U_{ieff} = 125 \text{ mV}$ . Deshalb wird zur Pegelanpassung an das Klangstellermodul auf dem Mono-Brückenschaltungsmodul der  $1\text{-k}\Omega$ -Widerstand zum Eingang parallelgeschaltet.

Da keine Auskoppelkondensatoren vorhanden sind, wird die Ausgangsmittenspannungsabweichung auf  $100 \text{ mV}$  begrenzt. Diese Ruhespannung kann ein  $4\text{-}\Omega$ -Lautsprecher ohne weiteres auf Dauer vertragen. Auch in der Mono-Brückenschaltung ist eine Stand-by-Beschaltung möglich.

#### **2.5.4. Hinweise zur Kühlkörperdimensionierung**

Ausführliche Hinweise zur Kühlkörperdimensionierung sind in [25] beschrieben. Für die Dimensionierung noch einige Anmerkungen: Der thermische Innenwiderstand des 11poligen TO-220-

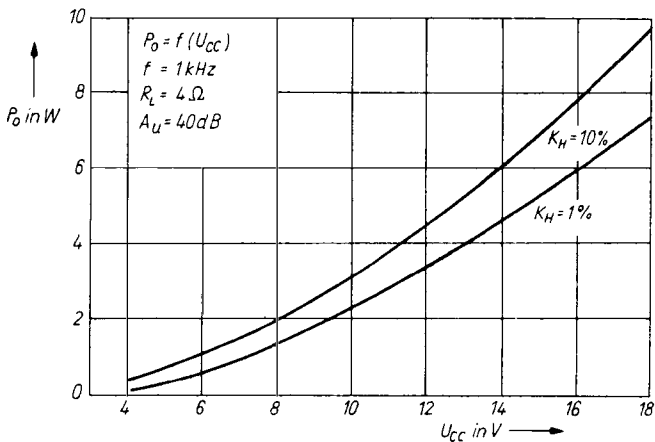


Bild 2.47 Ausgangsleistung als Funktion der Betriebsspannung bei Stereobetrieb ( $A$  2000 V,  $A$  2005 V)

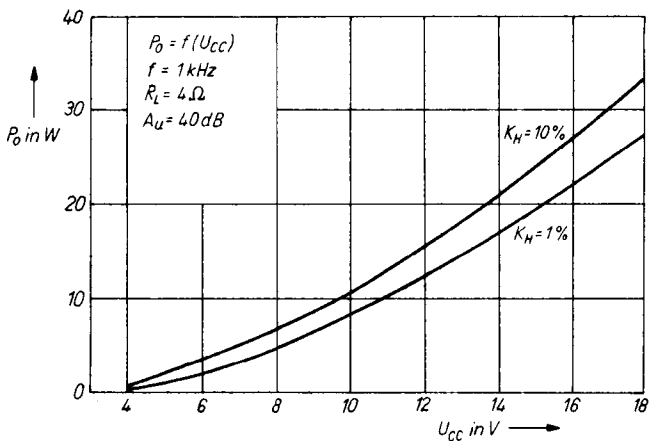


Bild 2.48 Ausgangsleistung als Funktion der Betriebsspannung bei Mono-Brückenbetrieb ( $A$  2000 Vm,  $A$  2005 Vm)

Gehäuses beträgt  $R_{thjc} \leq 3 \text{ K/W}$ . Für den Betrieb ohne Kühlkörper ist ein Wärmewiderstand von  $R_{thja} \leq 50 \text{ K/W}$  zu beachten. Der Schaltkreis muß mechanisch spannungsfrei montiert werden. Dazu sind am Kühlkörper und auf der Platine entsprechende Vorbereitungen zu treffen. Der Kühlkörper ist in der Nähe des Masseanschlusses (6) zu erden. Die Verlustleistung berechnet man aus der geforderten Ausgangsleistung. Aus den Bildern 2.47 und 2.48 kann man bei vorgegebener Betriebsspannung für einen Lastwiderstand von  $4 \Omega$  die NF-Leistung entnehmen. In 1. Näherung gilt die vereinfachte Formel:

$$P_{\text{tot}} = \frac{\Sigma P_o}{F} + (U_{\text{CC}} \cdot I_{\text{CC}})$$

Es bedeuten:

$P_{\text{tot}}$  = Verlustleistung des Schaltkreises (in W)

$\Sigma P_o$  = Summe der NF- $P_o$  bei  $k_{\text{NF}} = 10 \%$  (in W)

$F$  = Mit Bootstrapbeschaltung  $F = 2$   
ohne Bootstrapbeschaltung  $F = 1,6$

$U_{\text{CC}}$  = Betriebsspannung (in V)

$I_{\text{CC}}$  = maximale Ruhestromaufnahme (in A)

Damit kann der Wärmewiderstand des Kühlkörpers berechnet werden:

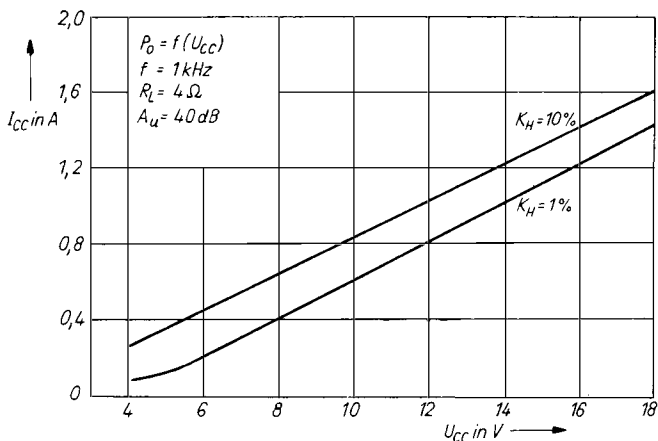
$$R_{thk} = \frac{150^\circ\text{C} - \vartheta_a}{P_{\text{tot}}} - R_{thjc}$$

$\vartheta_a$  = Umgebungstemperatur (maximal  $70^\circ\text{C}$ )

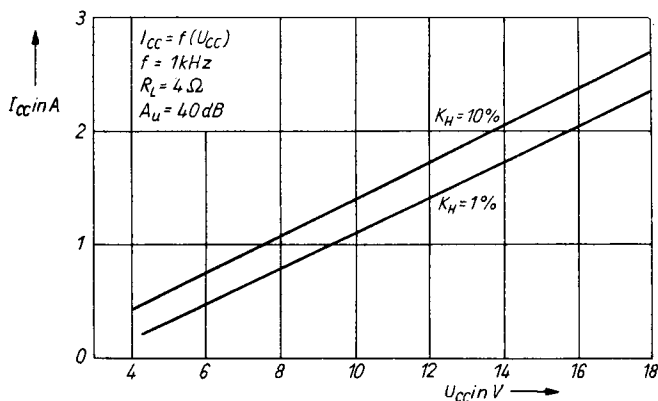
Beim Einbau des Kühlkörpers in ein geschlossenes Gehäuse sollte der Kühlkörper bis zu 30 % überdimensioniert werden.

### 2.5.5. Stromversorgung des NF-Verstärkers

Die Stromversorgung der NF-Verstärker kann durch Trockenbatterien, Autoakkumulator oder durch ein Netzteil erfolgen. Wichtig dabei ist, für die gewählte Ausgangsleistung den erforderlichen Strom bereitzustellen, den man aus den Bildern 2.49 und 2.50 entnehmen kann.



**Bild 2.49** Stromaufnahme als Funktion der Betriebsspannung bei Stereobetrieb mit Aussteuerung bei  $K_H = 10\%$



**Bild 2.50** Stromaufnahme als Funktion der Betriebsspannung bei Mono-Brückenbetrieb mit Aussteuerung bei  $K_H = 10\%$

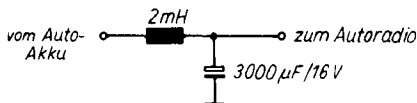


Bild 2.51 LC-Filter für zusätzliche Störunterdrückung beim Einsatz der A 2005 V im Kraftfahrzeug

- Bei Verwendung von Trockenbatterien sollte für die bei der Aussteuerung auftretenden Stromspitzen eine genügend große Speicherkapazität parallelgeschaltet werden.
- Beim Einsatz in Kraftfahrzeugen ist es sinnvoll, über ein LC-Filter nach Bild 2.51 den Empfänger direkt am Akkumulator anzuschließen.
- Bei netzbetriebenen Geräten sind für den Netztrafo unbedingt getrennte Wicklungen für Empfangs- und Klangmodule und Endstufenmodule vorzusehen. Die sekundäre Leerlaufspannung sollte  $U_{\sim} = 14,7V$  bei unstabilisiertem Netzteil nicht übersteigen; für jedes Ampere Gleichstrom sind etwa  $3\,300\mu F$  vorzusehen. Dabei ist das Netzteil niederohmig auszulegen und mit kurzen Leitungen direkt mit dem NF-Endstufenmodul zu verschalten.

### 2.5.6. Zusammenbau und Inbetriebnahme

Nach dem Fertigstellen der Leiterplatte folgt die Kühlkörpermontage. Erst dann wird sie mit den Bauelementen bestückt. Wird die Betriebsspannung zugeschaltet, kann eine Kontrolle der anliegenden Gleichspannungen an den Schaltkreisanschlüssen nach Tabelle 2.11. durchgeführt werden.

### 2.5.7. Lautsprecher und Boxen

An die Schaltkreise können aufgrund des geringen Innenwiderstands der Gegentakt-B-Endstufe von  $\approx 70\,m\Omega$  alle  $4\text{-}\Omega$ -Lautsprecher oder Boxen angeschaltet werden.



**Tabelle 2.11.** Gleichspannungspegel für die IS A 2000 V und A 2005 V

Anschluß		Gleichspannung	
1	Eingang (1)	$2 \times U_{BE} (1,3 \text{ V})$	
2	Gegenkopplungs-Eingang (1)	$1 \times U_{BE} (0,65 \text{ V})$	
3	Mittenspannung (Stand-by)	$\frac{U_{CC}}{2} + 2 U_{BE}$	
4	Gegenkopplungs-Eingang (2)	$1 \times U_{BE} (0,65 \text{ V})$	
5	Eingang (2)	$2 \times U_{BE} (1,3 \text{ V})$	
6	Masse		
		mit Bootstrap	ohne Bootstrap
7	Bootstrap (2)	$U_{CC} - U_{BE}$	$U_{CC}$
8	Ausgang (2)	$\frac{U_{CC}}{2}$	$\frac{U_{CC} - U_{BE}}{2}$
9	Betriebsspannung	$U_{CC}$	$U_{CC}$
10	Ausgang (1)	$\frac{U_{CC}}{2}$	$\frac{U_{CC} - U_{BE}}{2}$
11	Bootstrap (1)	$U_{CC} - U_{BE}$	$U_{CC}$

In der Brückenschaltung werden durch die direkte Lautsprecherkopplung besonders die tiefen Töne gut wiedergegeben. Die verwendeten Lautsprecherboxen sollten immer eine etwas größere Leistung aufweisen, damit sie bei der akustischen Wiedergabe einen geringeren Klirrfaktor haben.

### 3. Empfängerschaltungen

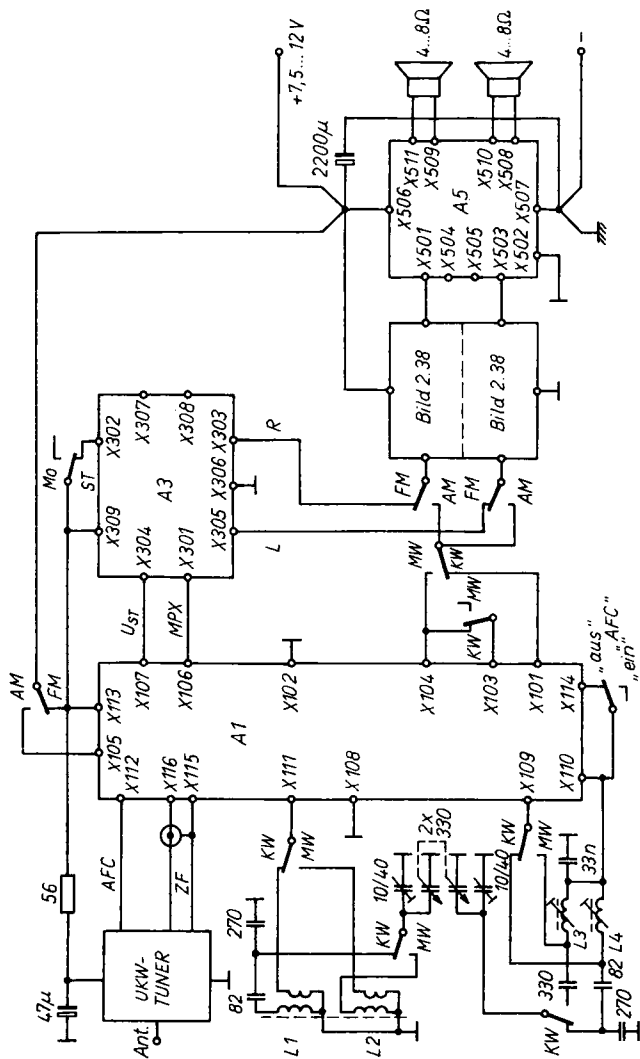
Auf der Grundlage der in den einzelnen Bauelementebeschreibungen gemachten Angaben und mit den erprobten Einsatzschaltungen empfehlen die Autoren im folgenden 2 Empfängerkonzepte. Die Anpassung der Signalpegel wurde in den einzelnen Baugruppen vorgenommen, so daß optimale Ergebnisse erreichbar sind. Insbesondere die NF-Baugruppen der Heimempfängervariante sind bezüglich des erreichbaren Störabstands sorgfältig dimensioniert und erreichen dadurch sehr gute Gebrauchswerteigenschaften.

#### 3.1. Stereokofferempfänger

Bild 3.1 zeigt die Schaltung des vorgeschlagenen Portabel-Konzepts, wobei die Baugruppen unverändert eingesetzt werden können (in Baugruppe A 1 – Bild 2.8 – ist der Koppelkondensator an X 106 umzupolen). Für den UKW-Tuner sind alle handelsüblichen Varianten einsetzbar. Jedoch ist darauf zu achten, daß die AFC-Diode mit ihrer Katodenseite von X 111 angesteuert wird. Erprobt wurde die Schaltung mit dem Tuner 441303

( $2 \times SF\ 235$ ). Der ZF-Lastwiderstand  $R_L$  im Bild 2.8 ( $\approx 62\ \Omega$ ) wird so gewählt, daß man eine Tunerverstärkung von etwa 26 dB erreicht.

Da für das AM-Teil der AM-Drehkondensator ( $2 \times 330\text{ pF}$ ) des UKW-Tuners verwendet wird, sind die Ferritantenne und die Oszillatorsulen entsprechend zu wählen. Im vorliegenden Beispiel wurde die Antenne des Kofferempfängers *Contura 2500* und selbstgewickelte Oszillatorsulen mit den Werten  $L_3 = 155\ \mu\text{H}$  und  $L_4 = 8,3\ \mu\text{H}$  verwendet. Bei Einsatz handelsüblicher Oszillatorsulen ist nur deren Primärwicklung zu nutzen.



8 Bild 3.1 Schaltung eines Stereokoffereempfängers

Die Empfangsbereiche dieser Schaltung sind:

UKW 87,5...100MHz

MW 510...1620kHz

KW 5,85...6,25MHz (49-m-Band)

Im AM-Betrieb werden vor allem im MW-Bereich durch die speziellen Eingangsstufen des *A 4100 D* gute Eingangsempfindlichkeiten erreicht (typ. 0,5mV/m bei 20dB Störabstand).

Bei FM wird der Stereodekoder (A3) durch die Feldstärkeausgangsspannung an X 107 (A 1) in seiner Stereobandbreite gesteuert, so daß sich bei Empfang von schwachen Sendern ein günstiges Rauschverhalten ergibt. Man erreicht bei  $U_i = 20\mu\text{V}$  46dB und bei  $300\mu\text{V} \approx 70\text{dB}$  Störabstand. Bei richtigem Abgleich der Phasenkompensation in Baugruppe A3 können Kanaltrennungen von 40dB (!) verwirklicht werden. Im Monobetrieb liegt die Grenzempfindlichkeit bei dem sehr guten Wert von  $\approx 0,8\mu\text{V}$ .

### *Abgleichhinweise*

- Tuner nach Herstellerangaben.
- Übersprechdämpfung mit entsprechendem Stereocoder und sehr gutem UKW-Meßsender auf Maximum mit  $R_2$  und  $R_3$  in A3. Ein amateurmäßiges Hilfsmittel ist der Abgleich nach Gehör bei entsprechendem Programminhalt.
- Mono-Stereo-Überblendung mit  $25\text{k}\Omega$  an X 107 in A1 bei:  $U_{\text{iHF}} \approx 30\mu\text{V}$  auf  $U_{\text{ST}}$  (an X 107) von  $\approx 0,65\text{V}$  bzw. bei Empfang eines schwachen Senders mit Stereosignal nach individueller Einschätzung.
- Der AM-Abgleicherfolgt wie üblich bei MW [4] mit  $L_2$ ;  $L_3$  und den Trimmern 10/40pF, bei KW mit  $L_1$ ;  $L_4$  bei Bandmitte.

## **3.2. Stereoheimempfänger**

Im Bild 3.2 ist eine Zusammenschaltung der Baugruppen aus den vorangegangenen Abschnitten zu einem hochwertigen Stereoheimempfänger wiedergegeben. Für den UKW-Tuner, dem Eingangsteil des Gerätes, ist zweckmäßigerweise eine industriell gefertigte Baugruppe zu verwenden.

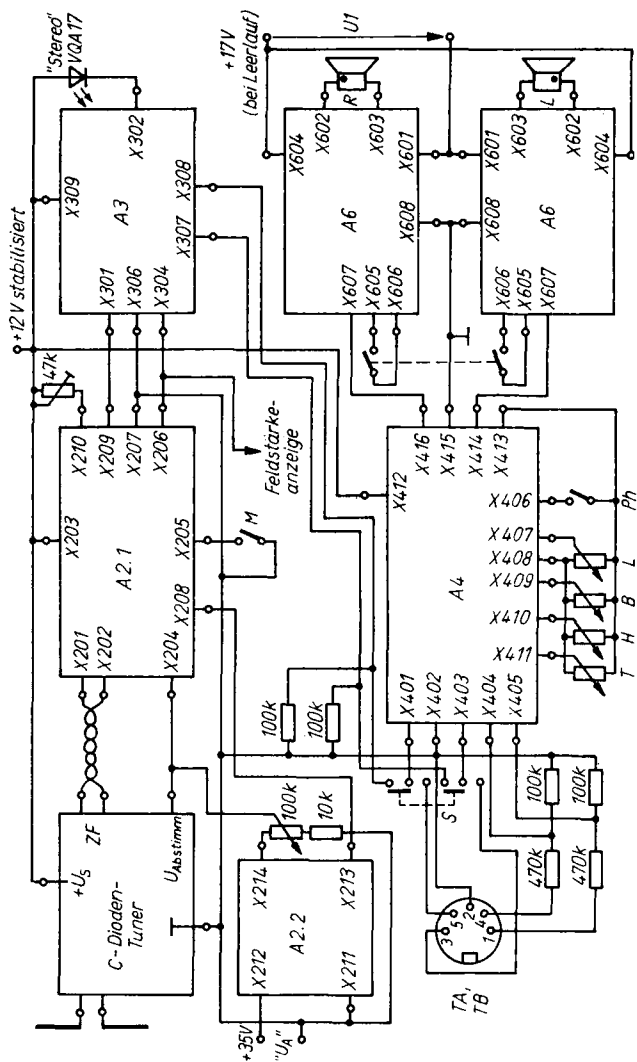


Bild 3.2 Schaltung eines Stereoheimempfängers

Die entsprechende Beschaltung ist den Veröffentlichungen, z. B. in rfe aus Gerätebeschreibungen bzw. Serviceanleitungen, zu entnehmen. Der Signalweg (Tuner, ZF-Modul, Stereodekoder, Klang- und Lautstärksteller-Modul sowie NF-Leistungsverstärker) wurde in diesem Bild auch in seiner Leitungsführung zweckentsprechend dargestellt. Die Spannung für das Abstimmspannungs-AFC-Modul sollte an den Punkten für « $U_A$ » angeschlossen werden. In jedem Fall ist sowohl die Masse für « $U_A$ » als auch für die Versorgungsspannung +12V an den Kleinsignalstufen anzuschließen.

Wie im Abschnitt 2.5. beschrieben, ist die Spannungszuführung der Endverstärker besonders sorgfältig auszuführen. Es ist daher unbedingt zu empfehlen, für die Versorgung der Endstufen eine vom übrigen Stromversorgungsteil getrennte Transformatorwicklung und Gleichrichtung vorzusehen. Der negative Anschluß wird dann direkt mit der Endstufenmasse verbunden. Zwischen den Massen der beiden Endstufen (X 601) ist eine kurze kräftige Verbindung zu schaffen. Die Endstufenmasse ist mit den Massen der übrigen Module im NF-Modul sinnvoll verbunden. Im Stromversorgungsteil sind die Massepotentiale unbedingt getrennt zu halten. Der Abgleich ist entsprechend den Erläuterungen in den einzelnen Kapiteln vorzunehmen.

Der Schalter M (Muting) setzt, wird er geschlossen, die Stummschaltung im ZF-Modul außer Kraft, während der Schalter Ph beim Schließen die «physiologische Lautstärkeregelung» ausschaltet. Der Abgleich der oberen Tunerfrequenz wird bei Potentiometerendstellung ( $U_{Amax}$ ) am 4,7-k $\Omega$ -Steller auf dem Abstimmspannungsmodul (Bild 2.18) vorgenommen. Die untere Bandgrenze kann danach (falls erforderlich) bei Potentiometerendstellung ( $U_{Amin}$ ) durch Änderung des 10-k $\Omega$ -Widerstands zwischen Potentiometer und Masse korrigiert werden (s. Bild 3.2).

Der Schalter «S» dient der Anschaltung einer Tonabnehmer-/Tonbandbuchse. Die Leitungen zur Buchse sind bei längerer Leitungsführung geschirmt auszuführen.

Auf der Modulplatte «NF-Brückenschaltung» nach Bild 2.44 befindet sich am Eingang ein Widerstand von 1k $\Omega$ . Dieser

Widerstand dient der Pegelanpassung bei Verwendung dieser Schaltung im vorgestellten Konzept. Bei anderen Anwendungsfällen des Moduls kann er entfallen.

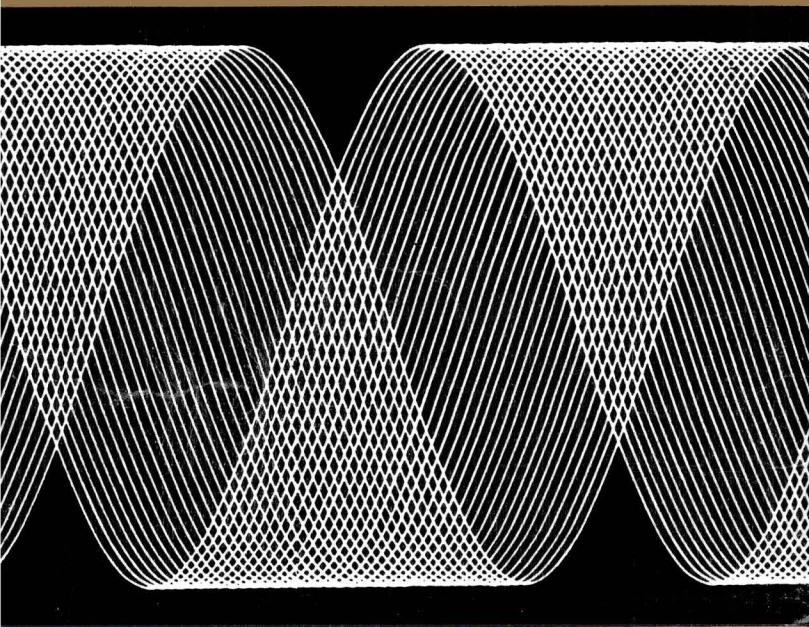
Soll eine manuelle Abschaltung der AFC vorgesehen werden, ist auf dem ZF-Modul der Kondensator  $0,22\mu\text{F}$  zwischen X 204 und Schaltkreisanschluß (2) durch eine Brücke zu ersetzen. Der Kondensator ist dann außerhalb des Moduls zwischen der Abstimmungsspannung und X 204 anzuordnen. Ein Schalter zwischen X 204 und X 207 setzt im geschlossenen Zustand die AFC außer Betrieb. Ist er geöffnet, arbeitet wieder die automatische AFC-Abschaltung.

## 4. Literatur

- [1] *H. Jüngling*, Eigenschaften und Einsatzmöglichkeiten der AM-Empfängerschaltung A 244 D. In: radio fernsehen elektronik 27 (1978) 4, S. 212–216
- [2] *H. Jüngling*, AM-FM-Empfängerschaltkreis A 4100 D. In: radio fernsehen elektronik 35 (1986) 3, S. 149–152
- [3] *H. Jüngling*, *H.-P. Karrasch*, AM-FM-Empfängerschaltkreis A 4100 D; PLL-Stereodekoder-Schaltkreis A 4510 D. Information-Applikation, Mikroelektronik Heft 39, KdT Frankfurt (Oder)
- [4] Für den Service: Stereoradiorecorder SKR 700. In: radio fernsehen elektronik 35 (1986) 8, S. 507–512
- [5] *A. Dietze*; *H. Kriedt*, AM-FM-Empfängerbaustein TDA 4100. In: Funktechnik 37 (1982) 5, S. 197–201
- [6] Fachbereichsstandard-TGL 43156: Bipolarer AM-FM-ZF-Verstärker-Schaltkreis A 4100 D
- [7] *B. Gutsche*, A 225 D FM-ZF-Verstärker. Information-Applikation, Mikroelektronik Heft 24, KdT Frankfurt (Oder)
- [8] *D. Dahms*, LED-Ansteuerschaltkreis A 277 D. Information-Applikation, Mikroelektronik Heft 10, KdT Frankfurt (Oder)
- [9] Fachbereichsstandard-TGL35798: Bipolarer ZF-Verstärkerschaltkreis A 225 D
- [10] Service-Amateurinformation (85): Stereosteuergerät RS 5001 HiFi. In: radio fernsehen elektronik 31 (1982) 5, S. 303–308
- [11] Für den Service: HiFi-Tuner FERA T 150 und HiFi Stereoverstärker FERA V 150. In: radio fernsehen elektronik 32 (1983) 6, S. 371–375
- [12] Für den Service: Stereosteuergerät SR 2410. In: radio fernsehen elektronik 33 (1984) 12, S. 777–784



- [13] *L.-P. Barck*, A 4510 D-Stereodekoderschaltkreis. 11. Halbleiterbauelemente-Symposium, Frankfurt (Oder) 1985 Referat
- [14] Fachbereichsstandard-TGL 43 158; Bipolarer Stereodekoder-Schaltkreis A 4510 D
- [15] *H. Peschl*, Signal-Rauschabstände bei Mono- und Stereoübertragung. In: Funktechnik 37 (1982) 10, S. 430
- [16] *J. Schulze*, Aktive RC-Allpässe. Elektronik-Arbeitsblatt Nr. 170. In: Elektronik 12, 14. 6. 85, S. 85 ff
- [17] *W. Moortgat-Pick*; *R. Schiffel*, Rundfunk-Stereo-Übertragung (UKW-Stereophonie). In: Funkschau 2-1985, Funkschau 3-1985, Funkschau 4-1985
- [18] *H.-P. Karrasch*, Integrierter PLL-Stereodekoder-Schaltkreis A 290 D. Information-Applikation, Mikroelektronik Heft 3, KdT Frankfurt (Oder)
- [19] *P. Bockelmann*; *W. Westendorf*, Valvo Bericht Band XIV, Heft 1, Juni 1974
- [20] *P. Edelmann*, Integrierte Lautstärke- und Klangeinsteller A 237 D und A 274 D. In: radio fernsehen elektronik 28 (1979) 12
- [21] *P. Edelmann*; *H. Jahn*, Integrierte Einstellschaltkreise A 273 D, A 274 D. Information-Applikation, Mikroelektronik Heft 7, KdT Frankfurt (Oder)
- [22] *U. Tietze*; *Ch. Schenk*, Halbleiterschaltungstechnik. Berlin, Heidelberg, New York 1974
- [23] *W. Eckert*; *E.-A. Kilian*, Wirkungsweise und Anwendung elektronischer Steller und Schalter. In: Funktechnik 38 (1983) 12, S. 508–511
- [24] *H. Jahn*, Integrierte Doppel-NF-Verstärker A 2000 V, A 2005 V. In: radio fernsehen elektronik 35 (1986) 3, S. 158 ff
- [25] *H. Hantzsch*, Wärmeableitung in Halbleitern. electronica 161, Berlin 1978



**ISBN 3-327-00558-3**